

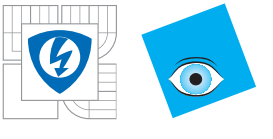


INVESTICE DO ROZVOJE VZDĚLÁVÁNÍ

# Modelování a řízení podaktuovaných mechanických systémů a kráčejících robotů

Prof. RNDr. Sergej Čelikovský, CSc. (ÚTIA AV ČR, v.v.i.)

Tato prezentace je spolufinancována Evropským sociálním fondem a státním rozpočtem České republiky.



Modelování  
mechanických  
systémů

Holonomní a  
neholonomní  
omezení

Příklad  
Zobecněné  
souřadnice

Zobecněné síly  
Princip virtuální  
práce  
d'Alembertův  
princip

Lagrangeovy rovnice

Hamiltonián  
Hamiltonovské  
rovnice

Kuličky na  
parabolické ploše

Model jedné kuličky

Nárazy kuliček

Hybridní systém s  
nárazy

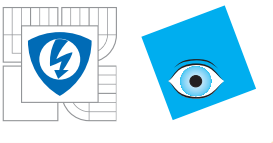
Počáteční podmínky

Podaktuované  
systémy

Kráčející roboti

Rízení kráčejících  
robotů

# Modelování mechanických systémů



# Holonomní a neholonomní omezení

Modelování  
mechanických  
systémů

Holonomní a  
neholonomní  
omezení

Příklad  
Zobecněné  
souřadnice  
Zobecněné síly  
Princip virtuální  
práce  
d'Alembertův  
princip  
Lagrangeovy rovnice

Hamiltonián  
Hamiltonovské  
rovnice  
Kuličky na  
parabolické ploše  
Model jedné kuličky  
Nárazy kuliček  
Hybridní systém s  
nárazy  
Počáteční podmínky

Podaktuované  
systémy

Kráčející roboti

Rízení kráčejících  
robotů

INVESTICE DO ROZVOJE VZDĚLÁVÁNÍ

Mechanickou soustavu  $N$  hmotných bodů můžeme popsat souborem kartézských souřadnic pomocí  $N \geq 1$  vektorů:

$$\mathbf{r}^1 = \begin{bmatrix} x_1^1 \\ x_2^1 \\ x_3^1 \end{bmatrix}, \mathbf{r}^2 = \begin{bmatrix} x_1^2 \\ x_2^2 \\ x_3^2 \end{bmatrix}, \dots, \mathbf{r}^N = \begin{bmatrix} x_1^N \\ x_2^N \\ x_3^N \end{bmatrix} \quad (1)$$

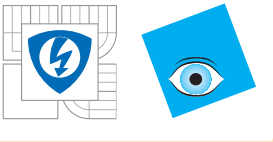
Body jsou vázány omezeními. **Holonomní omezení:**

$$\phi_k(\mathbf{r}^1, \dots, \mathbf{r}^N, t) = 0, \quad k = 1, \dots, M. \quad (2)$$

**Neholonomní omezení:** nelze vyjádřit jako (2) (nerovnosti, neintegrovatelné rovnosti s rychlostmi,...).

**Skleronomní omezení:**  $\phi_k(\cdot, t) \equiv \phi_k(\cdot)$ .

**Rheonomní omezení:** není skleronomní.



# Příklad neholonomního systému

Modelování  
mechanických  
systémů

Holonomní a  
neholonomní  
omezení

**Příklad**

Zobecněné  
souřadnice

Zobecněné síly  
Princip virtuální  
práce

d'Alembertův  
princip

Lagrangeovy rovnice

Hamiltonián  
Hamiltonovské  
rovnice

Kuličky na  
parabolické ploše

Model jedné kuličky

Nárazy kuliček

Hybridní systém s  
nárazy

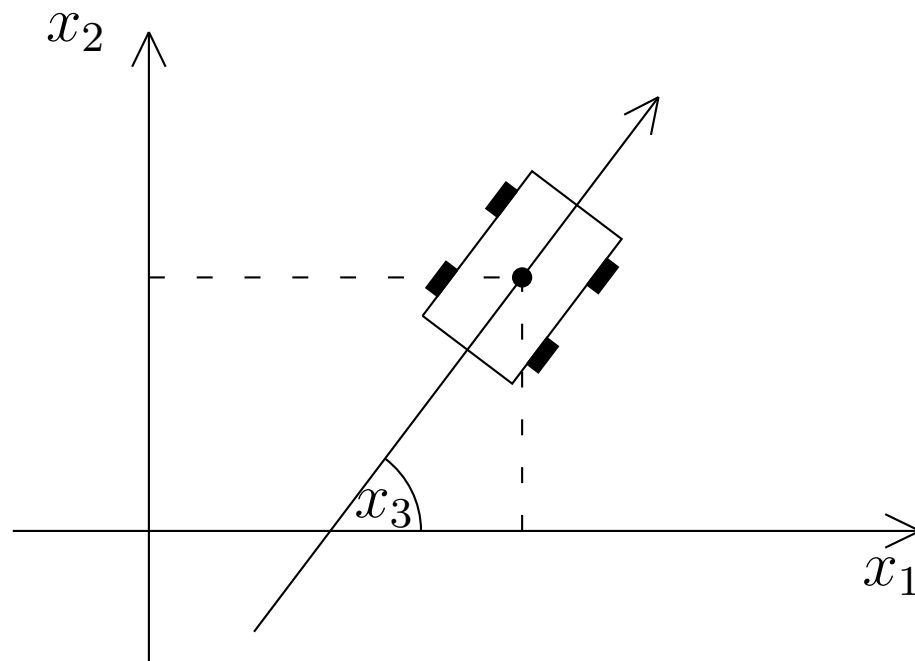
Počáteční podmínky

Podaktuované  
systémy

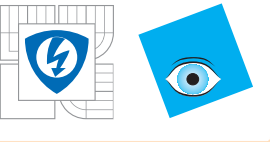
Kráčející roboti

Rízení kráčejících  
robotů

INVESTICE DO ROZVOJE Vzdělávání



Obrázek 1: Rovinný model kinematiky auta. Omezení má následující tvar:  $\dot{x}_2 \cos x_3 = \dot{x}_1 \sin x_3$ .



# Příklad neholonomního systému

Modelování  
mechanických  
systémů

Holonomní a  
neholonomní  
omezení

Příklad

Zobecněné  
souřadnice

Zobecněné síly

Princip virtuální  
práce

d'Alembertův  
princip

Lagrangeovy rovnice

Hamiltonián  
Hamiltonovské  
rovnice

Kuličky na  
parabolické ploše

Model jedné kuličky

Nárazy kuliček

Hybridní systém s  
nárazy

Počáteční podmínky

Podaktuované  
systémy

Kráčející roboti

Řízení kráčejících  
robotů

INVESTICE DO ROZVOJE VZDĚLÁVÁNÍ

Toto omezení nelze integrovat, tj. není důsledkem derivování některého holonomního omezení  $\phi(x_1, x_2, x_3) = 0$  podle času, neboť by muselo platit:

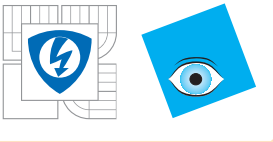
$$\phi_{x_1} = \alpha(x) \sin(x_3), \quad \phi_{x_2} = -\alpha(x) \cos x_3, \quad \phi_{x_3} = 0,$$

$\alpha(x) \neq 0$  je libovolná diferencovatelná skalární funkce (tzv. integrující faktor). Jelikož ale  $\phi_{x_1 x_3} = \phi_{x_3 x_1} \wedge \phi_{x_2 x_3} = \phi_{x_3 x_2}$ , muselo by platit

$$\alpha(x) \cos x_3 + \alpha_{x_3}(x) \sin x_3 = (\alpha(x) \sin(x_3))_{x_3} = 0_{x_1} = 0$$

$$\alpha(x) \sin x_3 - \alpha_{x_3}(x) \cos x_3 = (-\alpha(x) \cos(x_3))_{x_3} = 0_{x_2} = 0,$$

z čehož plyne  $\alpha(x) \equiv 0$ , což je spor.



# Zobecněné souřadnice

Modelování  
mechanických  
systémů

Holonomní a  
neholonomní  
omezení

Příklad  
Zobecněné  
souřadnice

Zobecněné síly  
Princip virtuální  
práce  
d'Alembertův  
princip  
Lagrangeovy rovnice

Hamiltonián  
Hamiltonovské  
rovnice  
Kuličky na  
parabolické ploše

Model jedné kuličky  
Nárazy kuliček  
Hybridní systém s  
nárazy

Počáteční podmínky

Podaktuované  
systémy

Kráčející roboti

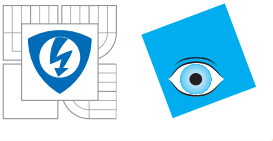
Rízení kráčejících  
robotů

Mějme systém  $N$  hmotných bodů s  $M$ ,  $M < 3N$ , vzájemně nezávislými holonomními omezeními. Číslo  $s = 3N - M$  se nazývá počtem **stupňů volnosti**. Potom existují, alespoň lokálně, tzv. **zobecněné souřadnice**

$$q_1, q_2, \dots, q_s, \quad s = 3N - M. \quad (3)$$

Původní popis systému  $N$  hmotných bodů (1) lze přes (3) vyjádřit pomocí  $3N$  skalárních funkcí, které zapíšeme stručněji pomocí  $N$  vektorových rovnic:

$$\begin{aligned} \mathbf{r}^1 &= \psi^1(q_1, q_2, \dots, q_s) \\ &\vdots \\ \mathbf{r}^N &= \psi^N(q_1, q_2, \dots, q_s). \end{aligned} \quad (4)$$



# Zobecněné síly

Modelování  
mechanických  
systémů

Holonomní a  
neholonomní  
omezení

Příklad  
Zobecněné  
souřadnice

**Zobecněné síly**

Princip virtuální  
práce

d'Alembertův  
princip  
Lagrangeovy rovnice

Hamiltonián  
Hamiltonovské  
rovnice

Kuličky na  
parabolické ploše

Model jedné kuličky

Nárazy kuliček  
Hybridní systém s  
nárazy

Počáteční podmínky

Podaktuované  
systémy

Kráčející roboti

Rízení kráčejících  
robotů

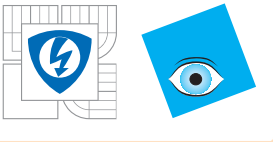
Uvažujme práci při infinitesimálních posunech poloh hmotných bodů  $\sum_{i=1}^N \mathbf{F}_i \delta \mathbf{r}^i$ . Vyjádříme ji pomocí zobecněných souřadnic. Máme

$$\delta \mathbf{r}^i = \sum_{j=1}^s \frac{\partial \mathbf{r}^i}{\partial q_j} \delta q_j, \quad i = 1, \dots, N, \quad s = 3N - M. \quad (5)$$

$$\sum_{i=1}^N \mathbf{F}_i \delta \mathbf{r}^i = \sum_{i=1}^N \sum_{j=1}^s \mathbf{F}_i \frac{\partial \mathbf{r}^i}{\partial q_j} \delta q_j = \sum_{j=1}^s \sum_{i=1}^N \mathbf{F}_i \frac{\partial \mathbf{r}^i}{\partial q_j} \delta q_j = \sum_{j=1}^s Q_j \delta q_j.$$

$$\sum_{i=1}^N \mathbf{F}_i \delta \mathbf{r}^i = \sum_{j=1}^s Q_j \delta q_j, \quad Q_j = \sum_{i=1}^N \mathbf{F}_i \frac{\partial \mathbf{r}^i}{\partial q_j}. \quad (6)$$

$Q_j$  nazýváme **zobecněnou silou** pro  $q_j, j = 1, \dots, s$



# Princip virtuální práce

Modelování  
mechanických  
systémů

Holonomní a  
neholonomní  
omezení

Příklad  
Zobecněné  
souřadnice

Zobecněné síly

Princip virtuální  
práce

d'Alembertův  
princip

Lagrangeovy rovnice

Hamiltonián  
Hamiltonovské  
rovnice

Kuličky na  
parabolické ploše

Model jedné kuličky

Nárazy kuliček

Hybridní systém s  
nárazy

Počáteční podmínky

Podaktuované  
systémy

Kráčející roboti

Řízení kráčejících  
robotů

INVESTICE DO ROZVOJE VZDĚLÁVÁNÍ

Rovnováha:  $\mathbf{F}_i = 0, i = 1, \dots, N$ , potom také

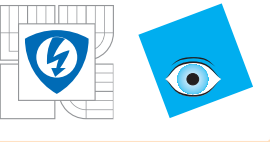
$\sum_{i=1}^N \mathbf{F}_i \delta \mathbf{r}_i = 0$ .  $\mathbf{F}_i, i = 1, \dots, N$  můžeme vyjádřit součtem síly reakce na omezení  $\mathbf{F}_i^z$  a akční (či vnučené, vnější) síly  $\mathbf{F}_i^a$ :

$$\sum_{i=1}^N [\mathbf{F}_i^z + \mathbf{F}_i^a] \delta \mathbf{r}_i = 0.$$

Postulát: celková práce vykonaná reakcemi na omezení rovna nule, tj.  $\sum_{i=1}^N \mathbf{F}_i^z \delta \mathbf{r}_i = 0$ .

**Princip virtuální práce:** Systém se může nacházet v rovnovážném stavu jedině tehdy, pokud je celková virtuální práce vnějších sil rovna nule.

$$\sum_{i=1}^N \mathbf{F}_i^a \delta \mathbf{r}_i = 0,$$



# d'Alembertův princip

Modelování  
mechanických  
systémů

Holonomní a  
neholonomní  
omezení

Příklad  
Zobecněné  
souřadnice

Zobecněné síly  
Princip virtuální  
práce

d'Alembertův  
princip

Lagrangeovy rovnice

Hamiltonián  
Hamiltonovské  
rovnice

Kuličky na  
parabolické ploše

Model jedné kuličky

Nárazy kuliček

Hybridní systém s  
nárazy

Počáteční podmínky

Podaktuované  
systémy

Kráčející roboti

Rízení kráčejících  
robotů

INVESTICE DO ROZVOJE VZDĚLÁVÁNÍ

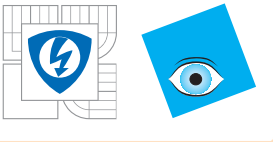
d'Alembert pak dokázal využít princip virtuální práce i v dynamice. Pro setrvačné síly jednotlivých hmotných bodů systému  $\mathbf{F}_i, i = 1, \dots, N$  platí Newtonův zákon  $\mathbf{F}_i = \dot{\mathbf{p}}_i$ , jsou hybnosti jednotlivých bodů systému, proto

$$\sum_{i=1}^N [\mathbf{F}_i - \dot{\mathbf{p}}_i] \delta \mathbf{r}_i = 0,$$

a opět síly reakcí na omezení nekonají práci, takže

$$\sum_{i=1}^N [\mathbf{F}_i^a - \dot{\mathbf{p}}_i] \delta \mathbf{r}_i = 0. \quad (7)$$

Rovnice (7) vyjadřuje **d'Alembertův princip**. Tento princip je pak možné využít k odvození Lagrangeovy metody.



# Lagrangeovy rovnice

Modelování  
mechanických  
systémů

Holonomní a  
neholonomní  
omezení

Příklad  
Zobecněné  
souřadnice

Zobecněné síly  
Princip virtuální  
práce

d'Alembertův  
princip

Lagrangeovy rovnice

Hamiltonián  
Hamiltonovské  
rovnice  
Kuličky na  
parabolické ploše  
Model jedné kuličky

Nárazy kuliček  
Hybridní systém s  
nárazy  
Počáteční podmínky

Podaktuované  
systémy

Kráčející roboti

Rízení kráčejících  
robotů

INVESTICE DO ROZVOJE VZDĚLÁVÁNÍ

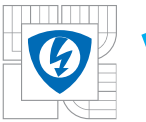
Základním krokem při odvození Lagrangeových rovnic je proto přechod ke zobecněným souřadnicím. Dosadíme z (5) do  $\sum_{i=1}^N [\mathbf{F}_i - \dot{\mathbf{p}}_i] \delta \mathbf{r}_i = 0$ , a dostaneme

$$\sum_{j=1}^s c_j(\cdot) \delta q_j = 0 \Leftrightarrow c_j(\cdot) = 0 \quad \forall, j = 1, \dots, s, s = 3N - M,$$

neboť  $\delta q_j, j = 1, \dots, s$  jsou navzájem nezávislé,

$c_j(\cdot)$  - určité výrazy závislé na (nezobecněných) silách, souřadnicích, rychlostech a zrychleních.

Jejich přesné vyjádření ve zobecněných souřadnicích a zobecněných silách je pak vlastně odvozením Lagrangeových rovnic



# Lagrangeovy rovnice

Modelování  
mechanických  
systémů

Holonomní a  
neholonomní  
omezení

Příklad  
Zobecněné  
souřadnice

Zobecněné síly  
Princip virtuální  
práce

d'Alembertův  
princip

**Lagrangeovy rovnice**

Hamiltonián  
Hamiltonovské  
rovnice

Kuličky na  
parabolické ploše

Model jedné kuličky

Nárazy kuliček

Hybridní systém s  
nárazy

Počáteční podmínky

Podaktuované  
systémy

Kráčející roboti

Rízení kráčejících  
robotů

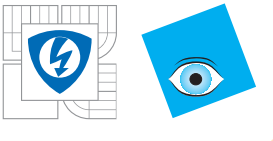
INVESTICE DO ROZVOJE VZDĚLÁVÁNÍ

Nejprve si vzpomeneme na  $\sum_{i=1}^N \mathbf{F}_i \delta \mathbf{r}_i = \sum_{j=1}^s Q_j \delta q_j$ , a  
zbývá tedy "jenom"  $\sum_{i=1}^N [\mathbf{F}_i - \dot{\mathbf{p}}_i] \delta \mathbf{r}_i = 0$ ,

$$\sum_{i=1}^N \dot{\mathbf{p}}_i \delta \mathbf{r}^i = \sum_{i=1}^N m_i \ddot{\mathbf{r}}^i \delta \mathbf{r}_i = \sum_{i=1}^N m_i \ddot{\mathbf{r}}^i \sum_{j=1}^s \frac{\partial \mathbf{r}^i}{\partial q_j} \delta q_j.$$

$$\ddot{\mathbf{r}}^i = \sum_{k=1, l=1}^s \frac{\partial^2 \mathbf{r}^i}{\partial q_k \partial q_l} \dot{q}_k \dot{q}_l + \sum_{k=1}^s \frac{\partial \mathbf{r}^i}{\partial q_k} \ddot{q}_k, i = 1, \dots, N$$

$$\sum_{i=1}^N \dot{\mathbf{p}}_i \delta \mathbf{r}^i = \sum_{j=1}^s \sum_{i=1}^N m_i \left[ \sum_{k=1, l=1}^s \frac{\partial^2 \mathbf{r}^i}{\partial q_k \partial q_l} \dot{q}_k \dot{q}_l + \sum_{k=1}^s \frac{\partial \mathbf{r}^i}{\partial q_k} \ddot{q}_k \right] \frac{\partial \mathbf{r}^i}{\partial q_j} \delta q_j.$$



# Lagrangeovy rovnice

Modelování  
mechanických  
systémů

Holonomní a  
neholonomní  
omezení

Příklad  
Zobecněné  
souřadnice  
Zobecněné síly  
Princip virtuální  
práce  
d'Alembertův  
princip

Lagrangeovy rovnice

Hamiltonián  
Hamiltonovské  
rovnice  
Kuličky na  
parabolické ploše

Model jedné kuličky

Nárazy kuliček  
Hybridní systém s  
nárazy

Počáteční podmínky

Podaktuované  
systémy

Krácející roboti

Rízení krácejících  
robotů

Zavedeme kinetickou energii  $K$  systému a vyjádříme ji ve  
zobecněných souřadnicích:

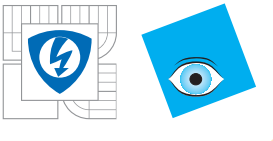
$$K = \sum_{i=1}^N m_i [\dot{\mathbf{r}}^i]^2 = \sum_{i=1}^N m_i \left[ \sum_{k=1}^s \frac{\partial \mathbf{r}^i}{\partial q_k} \dot{q}_k \right]^2. \quad (8)$$

Je možné pracně ověřit, že  $\forall j = 1, \dots, s$  platí:

$$\frac{d}{dt} \frac{\partial K}{\partial \dot{q}_j} - \frac{\partial K}{\partial q_j} = \sum_{i=1}^N m_i \left[ \sum_{k=1, l=1}^s \frac{\partial^2 \mathbf{r}^i}{\partial q_k \partial q_l} \dot{q}_k \dot{q}_l + \sum_{k=1}^s \frac{\partial \mathbf{r}^i}{\partial q_k} \ddot{q}_k \right] \frac{\partial \mathbf{r}^i}{\partial q_j}$$

a tedy

$$\sum_{i=1}^N \dot{p}_i \delta \mathbf{r}^i = \sum_{j=1}^s \left[ \frac{d}{dt} \frac{\partial K}{\partial \dot{q}_j} - \frac{\partial K}{\partial q_j} \right] \delta q_j. \quad (9)$$



# Lagrangeovy rovnice

Modelování  
mechanických  
systémů

Holonomní a  
neholonomní  
omezení  
Příklad  
Zobecněné  
souřadnice

Zobecněné síly  
Princip virtuální  
práce  
d'Alembertův  
princip

Lagrangeovy rovnice

Hamiltonián  
Hamiltonovské  
rovnice  
Kuličky na  
parabolické ploše

Model jedné kuličky  
Nárazy kuliček  
Hybridní systém s  
nárazy

Počáteční podmínky

Podaktuované  
systémy

Kráčející roboti

Rízení kráčejících  
robotů

INVESTICE DO ROZVOJE VZDĚLÁVÁNÍ

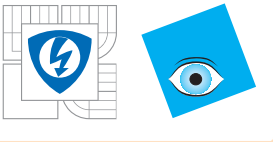
Z definice zobecněné síly pak pak dostaneme

$$\sum_{i=1}^N \dot{\mathbf{p}}_i \delta \mathbf{r}^i = \sum_{j=1}^s \left[ \frac{d}{dt} \frac{\partial K}{\partial \dot{q}_j} - \frac{\partial K}{\partial q_j} - Q_j \right] \delta q_j = 0, \quad (10)$$

což vede díky zmiňované vzájemné nezávislosti všech  $\delta q_j, j = 1, \dots, s$ , na rovnice

$$\frac{d}{dt} \frac{\partial K}{\partial \dot{q}_j} - \frac{\partial K}{\partial q_j} = Q_j, \quad \forall j = 1, \dots, s. \quad (11)$$

I když se rovnice (11) liší od standardně uváděných Lagrangeových rovnic, jsou skutečnou podstatou Lagrangeova přístupu a také jsou velmi užitečné.



# Lagrangeovy rovnice

Modelování  
mechanických  
systémů

Holonomní a  
neholonomní  
omezení

Příklad  
Zobecněné  
souřadnice

Zobecněné síly  
Princip virtuální  
práce

d'Alembertův  
princip

Lagrangeovy rovnice

Hamiltonián  
Hamiltonovské  
rovnice

Kuličky na  
parabolické ploše

Model jedné kuličky

Nárazy kuliček

Hybridní systém s  
nárazy

Počáteční podmínky

Podaktuované  
systémy

Kráčející roboti

Rízení kráčejících  
robotů

INVESTICE DO ROZVOJE VZDĚLÁVÁNÍ

Předpokládejme, že část sil má potenciální původ.

$V(q_1, \dots, q_n)$  je potenciálem, či potenciální energie.

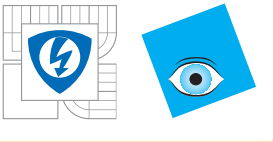
Zobecněná síla odpovídající zobecněné souřadnici  $q_j$  je v tomto případě rovna  $-\frac{\partial V}{\partial q_j}$ .

Přidáme-li tuto sílu na pravou stranu (11), dostaneme

$$\frac{d}{dt} \frac{\partial K}{\partial \dot{q}_j} - \frac{\partial K}{\partial q_j} = Q_j - \frac{\partial V}{\partial q_j}, \quad \forall j = 1, \dots, s,$$

$$\frac{d}{dt} \frac{\partial [K - V]}{\partial \dot{q}_j} - \frac{\partial [K - V]}{\partial q_j} = Q_j, \quad \forall j = 1, \dots, s,$$

neboť potenciál očividně nezávisí na rychlostech.



# Lagrangeovy rovnice

Modelování  
mechanických  
systémů

Holonomní a  
neholonomní  
omezení

Příklad  
Zobecněné  
souřadnice  
Zobecněné síly  
Princip virtuální  
práce  
d'Alembertův  
princip

Lagrangeovy rovnice

Hamiltonián  
Hamiltonovské  
rovnice  
Kuličky na  
parabolické ploše  
Model jedné kuličky

Nárazy kuliček  
Hybridní systém s  
nárazy

Počáteční podmínky

Podaktuované  
systémy

Kráčející roboti

Rízení kráčejících  
robotů

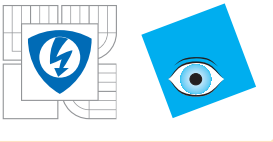
INVESTICE DO ROZVOJE VZDĚLÁVÁNÍ

Odvodili jsme tedy Lagrangeovy rovnice s Lagrangiánem  $\mathcal{L}$ :

$$\frac{d}{dt} \frac{\partial \mathcal{L}}{\partial \dot{q}_j} - \frac{\partial \mathcal{L}}{\partial q_j} = Q_j, \quad \forall j = 1, \dots, s, \quad \mathcal{L} := K - V. \quad (12)$$

Zobecněné síly  $Q_j, \forall j = 1, \dots, s$ , v (12) jsou pak všechny  
zobecněné síly, které působí na systém.

Při praktickém sestavování rovnic pro řízené systémy s  
akčními členy je pak také velmi užitečné, že zobecněné síly se  
snadno definují, neboť přirozeně vyplývají z popisu problému.  
Často je v aplikacích volba zobecněných souřadnic dána  
především hlediskem snadného popisu zobecněných sil,  
kterými jsou obvykle i akční členy v řízených systémech.



# Lagrangeovy rovnice

Modelování  
mechanických  
systémů

Holonomní a  
neholonomní  
omezení

Příklad  
Zobecněné  
souřadnice

Zobecněné síly  
Princip virtuální  
práce  
d'Alembertův  
princip

Lagrangeovy rovnice

Hamiltonián  
Hamiltonovské  
rovnice  
Kuličky na  
parabolické ploše

Model jedné kuličky  
Nárazy kuliček  
Hybridní systém s  
nárazy

Počáteční podmínky

Podaktuované  
systémy

Kráčející roboti

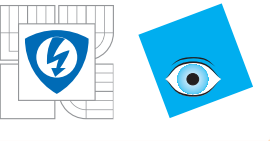
Rízení kráčejících  
robotů

INVESTICE DO ROZVOJE VZDĚLÁVÁNÍ

Veličinám  $\sigma_1, \dots, \sigma_s$  definovaným jako

$$\sigma_j = \frac{\partial \mathcal{L}}{\partial \dot{q}_j} = \frac{\partial K}{\partial \dot{q}_j}, \quad \forall j = 1, \dots, s, \quad \mathcal{L} := K - V. \quad (13)$$

říkáme **zobecněné hybnosti** odpovídající příslušným zobecněným souřadnicím. Slovo zobecněné opět vyjadřuje skutečnost, že fyzikálním rozměrem zobecněných hybností nemusí být nutně  $kg \cdot m \cdot s^{-1}$ , jak je tomu u klasické hybnosti. Kromě toho, zobecněné hybnosti nemají pro složitější mechanické systémy přímou souvislost s celkovou hybností systému. Zobecněné hybnosti sehrávají důležitou úlohu v Hamiltonovském přístupu, který probereme později.



# Hamiltonián

Modelování  
mechanických  
systémů

Holonomní a  
neholonomní  
omezení

Příklad  
Zobecněné  
souřadnice  
Zobecněné síly  
Princip virtuální  
práce  
d'Alembertův  
princip  
Lagrangeovy rovnice

Hamiltonián  
Hamiltonovské  
rovnice  
Kuličky na  
parabolické ploše  
Model jedné kuličky  
Nárazy kuliček  
Hybridní systém s  
nárazy  
Počáteční podmínky

Podaktuované  
systémy

Kráčející roboti

Rízení kráčejících  
robotů

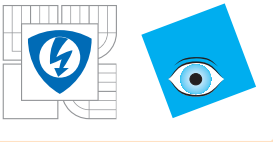
INVESTICE DO ROZVOJE VZDĚLÁVÁNÍ

Hamiltonián  $\mathcal{H}(q_1, \dots, q_s, \sigma_1, \dots, \sigma_s)$

$$\mathcal{H} := \mathcal{K}(q_1, \dots, q_s, \sigma_1, \dots, \sigma_s) + \mathcal{V}(q_1, \dots, q_s). \quad (14)$$

Pro pochopení Hamiltonova přístupu je třeba si uvědomit, že kinetická energie je **jinou funkcí**, než v Lagrangeově přístupu, neboť je vyjádřena přes zobecněné hybnosti, a ne přes zobecněné rychlosti. Proto také  $\forall j = 1, \dots, s$  platí

$$\frac{\partial \mathcal{K}(q_1, \dots, q_s, \sigma_1, \dots, \sigma_s)}{\partial q_j} = - \frac{\partial K(q_1, \dots, q_s, \dot{q}_1, \dots, \dot{q}_s)}{\partial q_j}. \quad (15)$$



# Hamiltonián

Modelování  
mechanických  
systémů

Holonomní a  
neholonomní  
omezení

Příklad  
Zobecněné  
souřadnice

Zobecněné síly  
Princip virtuální  
práce  
d'Alembertův  
princip

Lagrangeovy rovnice

Hamiltonián  
Hamiltonovské  
rovnice

Kuličky na  
parabolické ploše  
Model jedné kuličky  
Nárazy kuliček  
Hybridní systém s  
nárazy

Počáteční podmínky

Podaktuované  
systémy

Kráčející roboti

Rízení kráčejících  
robotů

INVESTICE DO ROZVOJE VZDĚLÁVÁNÍ

Kinetická energie je obvykle kvadratickou pozitivně definitní  
formou zobecněných rychlostí

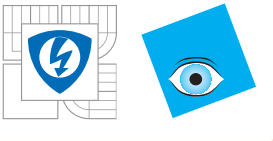
$$K = \dot{q}^\top D(q) \dot{q}, \quad q^\top = (q_1, \dots, q_s), \quad \dot{q}^\top = (\dot{q}_1, \dots, \dot{q}_s).$$

$s \times s$  matice této formy  $D(q) = D(q)^\top$  závisí na  
zobecněných souřadnicích. Platí

$$(\sigma_1, \dots, \sigma_s)^\top = D(q)(\dot{q}_1, \dots, \dot{q}_s)^\top,$$

Máme z  $(\dot{q}_1, \dots, \dot{q}_s)^\top = D(q)^{-1}(\sigma_1, \dots, \sigma_s)^\top$  a  
 $K = \dot{q}^\top D(q) \dot{q}$ :

$$\mathcal{K}(q_1, \dots, q_s, \sigma_1, \dots, \sigma_s) = \sigma^\top D(q)^{-1} \sigma, \quad \sigma^\top = (\sigma_1, \dots, \sigma_s).$$



# Hamiltonián

Modelování  
mechanických  
systémů

Holonomní a  
neholonomní  
omezení  
Příklad  
Zobecněné  
souřadnice

Zobecněné síly  
Princip virtuální  
práce

d'Alembertův  
princip  
Lagrangeovy rovnice

**Hamiltonián**  
Hamiltonovské  
rovnice  
Kuličky na  
parabolické ploše  
Model jedné kuličky  
Nárazy kuliček  
Hybridní systém s  
nárazy  
Počáteční podmínky

Podaktuované  
systémy

Kráčející roboti

Rízení kráčejících  
robotů

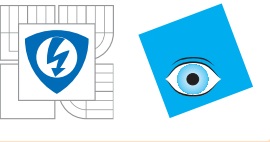
## Využijeme

$$\frac{\partial[D(q)^{-1}]}{\partial q_j} = -D(q)^{-1} \frac{\partial D(q)}{\partial q_j} D(q)^{-1}, \quad \forall j = 1, \dots, s,$$

což plyne z

$$0 = \frac{\partial[I_s]}{\partial q_j} = \frac{\partial[D(q)^{-1}D(q)]}{\partial q_j} = D(q)^{-1} \frac{\partial D(q)}{\partial q_j} + \frac{\partial[D(q)^{-1}]}{\partial q_j} D(q),$$

$$\begin{aligned} \frac{\partial \mathcal{K}}{\partial q_j} &= \sigma^\top \frac{\partial[D(q)^{-1}]}{\partial q_j} \sigma = -\sigma^\top D(q)^{-1} \frac{\partial D(q)}{\partial q_j} D(q)^{-1} \sigma = \\ &= -\dot{q}^\top \frac{\partial D(q)}{\partial q_j} \dot{q} = -\frac{\partial K}{\partial q_j}. \end{aligned}$$



# Hamiltonián

Modelování  
mechanických  
systémů

Holonomní a  
neholonomní  
omezení

Příklad  
Zobecněné  
souřadnice

Zobecněné síly  
Princip virtuální  
práce

d'Alembertův  
princip  
Lagrangeovy rovnice

Hamiltonián  
Hamiltonovské  
rovnice

Kuličky na  
parabolické ploše

Model jedné kuličky  
Nárazy kuliček

Hybridní systém s  
nárazy  
Počáteční podmínky

Podaktuované  
systémy

Kráčející roboti

Rízení kráčejících  
robotů

INVESTICE DO ROZVOJE VZDĚLÁVÁNÍ

Dále, platí následující vztah pro zobecněné rychlosti

$$\dot{q}_j = \frac{\partial \mathcal{K}(q_1, \dots, q_s, \sigma_1, \dots, \sigma_s)}{\partial \sigma_j}, \quad \forall j = 1, \dots, s, \quad (16)$$

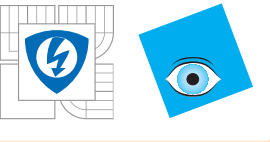
který dokážeme následovně

$$K(q, \dot{q}) = \mathcal{K}(q, \sigma) \Rightarrow \sigma_j = \frac{\partial K}{\partial \dot{q}_j}(q, \dot{q}) = \frac{\partial \mathcal{K}}{\partial \dot{q}_j}(q, \sigma) \Rightarrow$$

$$1 = \frac{\partial \sigma_j}{\partial \sigma_j} = \frac{\partial}{\partial \sigma_j} \frac{\partial \mathcal{K}}{\partial \dot{q}_j}$$

$$\Rightarrow 1 = \frac{\partial}{\partial \sigma_j} \frac{\partial \mathcal{K}}{\partial \dot{q}_j} = \frac{\partial}{\partial \dot{q}_j} \frac{\partial \mathcal{K}}{\partial \sigma_j} \Rightarrow 1 = \frac{\partial}{\partial \dot{q}_j} \frac{\partial \mathcal{K}}{\partial \sigma_j} \Rightarrow \dot{q}_j = \frac{\partial \mathcal{K}}{\partial \sigma_j}.$$





# Hamiltonovské rovnice

Modelování  
mechanických  
systémů

Holonomní a  
neholonomní  
omezení

Příklad  
Zobecněné  
souřadnice

Zobecněné síly  
Princip virtuální  
práce

d'Alembertův  
princip  
Lagrangeovy rovnice

Hamiltonián  
Hamiltonovské  
rovnice

Kuličky na  
parabolické ploše  
Model jedné kuličky

Nárazy kuliček  
Hybridní systém s  
nárazy

Počáteční podmínky

Podaktuované  
systémy

Kráčející roboti

Rízení kráčejících  
robotů

INVESTICE DO ROZVOJE VZDĚLÁVÁNÍ

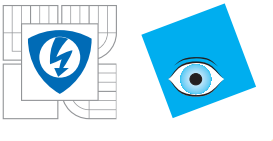
Nyní použijeme (15,16) k odvození dynamických rovnic pomocí Hamiltoniánu. Lagrangeovy rovnice (12) je očividně možné zapsat pomocí zobecněných hybností (13) jako

$$\frac{d\sigma_j}{dt} - \frac{\partial \mathcal{L}}{\partial q_j} = Q_j, \quad \forall j = 1, \dots, s, \quad \mathcal{L} := K - V,$$

a tedy  $\forall j = 1, \dots, s$  platí, že

$$\frac{d\sigma_j}{dt} = \frac{\partial K}{\partial q_j} - \frac{\partial V}{\partial q_j} + Q_j = -\frac{\partial \mathcal{K}}{\partial q_j} - \frac{\partial \mathcal{V}}{\partial q_j} + Q_j = -\frac{\partial \mathcal{H}}{\partial q_j} + Q_j.$$

$$\dot{\sigma} = - \left[ \frac{\partial \mathcal{H}}{\partial q} \right]^\top + Q, \quad \sigma^\top = (\sigma_1, \dots, \sigma_s), \quad Q^\top = (Q_1, \dots, Q_s).$$



# Hamiltonovské rovnice

Modelování  
mechanických  
systémů

Holonomní a  
neholonomní  
omezení

Příklad  
Zobecněné  
souřadnice

Zobecněné síly  
Princip virtuální  
práce

d'Alembertův  
princip

Lagrangeovy rovnice

Hamiltonián  
Hamiltonovské  
rovnice

Kuličky na  
parabolické ploše

Model jedné kuličky

Nárazy kuliček  
Hybridní systém s  
nárazy

Počáteční podmínky

Podaktuované  
systémy

Kráčející roboti

Rízení kráčejících  
robotů

INVESTICE DO ROZVOJE VZDĚLÁVÁNÍ

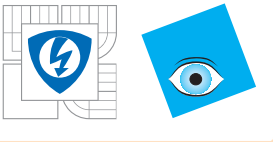
Kromě toho, z (16) a ze skutečnosti, že potenciální energie nezávisí na zobecněných hybnostech vyplývá, že

$$\dot{q} = \left[ \frac{\partial \mathcal{K}}{\partial \sigma} \right]^\top = \left[ \frac{\partial \mathcal{H}}{\partial \sigma} \right]^\top.$$

Konečná podobu Hamiltonových dynamických rovnic

$$\dot{q} = \left[ \frac{\partial \mathcal{H}}{\partial \sigma} \right]^\top, \quad \dot{\sigma} = - \left[ \frac{\partial \mathcal{H}}{\partial q} \right]^\top + Q,$$

$$q^\top = (q_1, \dots, q_s), \quad \sigma^\top = (\sigma_1, \dots, \sigma_s), \quad Q^\top = (Q_1, \dots, Q_s).$$



# Hamiltonovské rovnice

Modelování  
mechanických  
systémů

Holonomní a  
neholonomní  
omezení

Příklad  
Zobecněné  
souřadnice

Zobecněné síly  
Princip virtuální  
práce

d'Alembertův  
princip

Lagrangeovy rovnice

Hamiltonián  
Hamiltonovské  
rovnice

Kuličky na  
parabolické ploše

Model jedné kuličky

Nárazy kuliček  
Hybridní systém s  
nárazy

Počáteční podmínky

Podaktuované  
systémy

Kráčející roboti

Rízení kráčejících  
robotů

INVESTICE DO ROZVOJE VZDĚLÁVÁNÍ

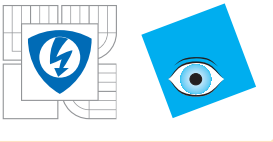
Z předchozího okamžitě plyne zákon zachování energie,  
neboť

$$\begin{aligned}\frac{d\mathcal{H}}{dt} &= \frac{\partial\mathcal{H}}{\partial\sigma}\dot{\sigma} + \frac{\partial\mathcal{H}}{\partial q}\dot{q} = \\ -\frac{\partial\mathcal{H}}{\partial\sigma}\left[\frac{\partial\mathcal{H}}{\partial q}\right]^\top + \frac{\partial\mathcal{H}}{\partial\sigma}Q + \frac{\partial\mathcal{H}}{\partial q}\left[\frac{\partial\mathcal{H}}{\partial\sigma}\right]^\top &= \frac{\partial\mathcal{H}}{\partial\sigma}Q.\end{aligned}$$

Máme tedy

$$\frac{d\mathcal{H}}{dt} = \frac{\partial\mathcal{H}}{\partial\sigma}Q = \dot{q}^\top Q, \quad (17)$$

což při  $Q = 0$  vede na konstantní  $\mathcal{H}$  a tedy zachování  
energie.



# Kuličky na parabolické ploše

Modelování  
mechanických  
systémů

Holonomní a  
neholonomní  
omezení

Příklad  
Zobecněné  
souřadnice

Zobecněné síly  
Princip virtuální  
práce

d'Alembertův  
princip

Lagrangeovy rovnice

Hamiltonián  
Hamiltonovské  
rovnice

Kuličky na  
parabolické ploše

Model jedné kuličky

Nárazy kuliček

Hybridní systém s  
nárazy

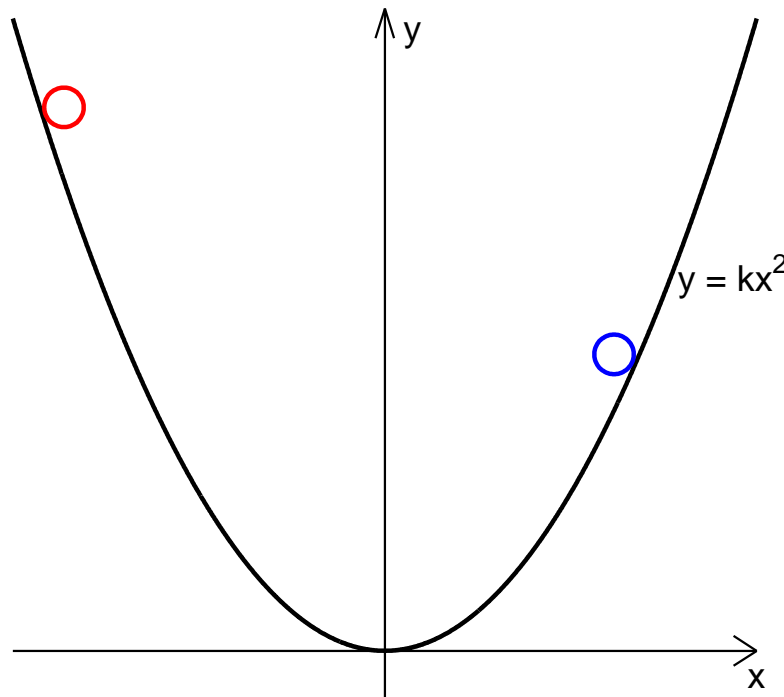
Počáteční podmínky

Podaktuované  
systémy

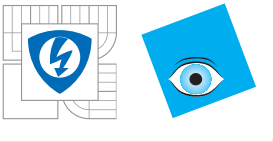
Kráčející roboti

Rízení kráčejících  
robotů

INVESTICE DO ROZVOJE Vzdělávání



Obrázek 2: Kuličky na nakloněné parabolické ploše.



# Model jedné kuličky

Modelování  
mechanických  
systémů

Holonomní a  
neholonomní  
omezení

Příklad  
Zobecněné  
souřadnice

Zobecněné síly  
Princip virtuální  
práce  
d'Alembertův  
princip

Lagrangeovy rovnice

Hamiltonián  
Hamiltonovské  
rovnice

Kuličky na  
parabolické ploše

**Model jedné kuličky**

Nárazy kuliček  
Hybridní systém s  
nárazy

Počáteční podmínky

Podaktuované  
systémy

Kráčející roboti

Rízení kráčejících  
robotů

INVESTICE DO ROZVOJE VZDĚLÁVÁNÍ

Kulička má hmotnost  $m$  a  $g$  je gravitační zrychlení, nepůsobí žádný typ tření. Lagrangián má tedy tvar

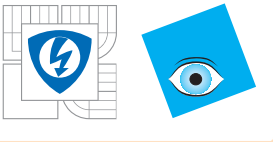
$$\mathcal{L} = \frac{1}{2}m[\dot{x}^2 + \dot{y}^2] + mgy = \frac{1}{2}m[\dot{x}^2 + 4k^2x^2\dot{x}^2] + mgkx^2,$$

Lagrangeovy rovnice tedy mají tvar

$$\frac{d}{dt} \left[ \frac{1}{2}m[2\dot{x} + 8k^2x^2\dot{x}] \right] - \frac{1}{2}m8k^2x\dot{x}^2 + 2mgkx = 0,$$

což vede po potřebných úpravách k

$$\ddot{x} = -x \frac{2gk + 4k^2\dot{x}}{1 + 4k^2x^2}.$$



# Nárazy kuliček

Modelování  
mechanických  
systémů

Holonomní a  
neholonomní  
omezení

Příklad  
Zobecněné  
souřadnice

Zobecněné síly  
Princip virtuální  
práce

d'Alembertův  
princip

Lagrangeovy rovnice

Hamiltonián  
Hamiltonovské  
rovnice

Kuličky na  
parabolické ploše

Model jedné kuličky

**Nárazy kuliček**  
Hybridní systém s  
nárazy

Počáteční podmínky

Podaktuované  
systémy

Kráčející roboti

Rízení kráčejících  
robotů

INVESTICE DO ROZVOJE VZDĚLÁVÁNÍ

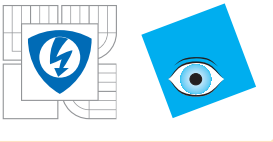
Kuličky o hmotnostech  $m_1, m_2$  a rychlostech  $v_1, v_2$ , že se zachová energie a hybnost, odraz proběhne nekonečně rychle a bez deformace, at' už elastické, či plastické:

$$m_1 v_1^+ + m_2 v_2^+ = m_1 v_1^- + m_2 v_2^-,$$

$$\frac{1}{2} m_1 [v_1^+]^2 + \frac{1}{2} m_2 [v_2^+]^2 = \frac{1}{2} m_1 [v_1^-]^2 + \frac{1}{2} m_2 [v_2^-]^2,$$

$$\begin{bmatrix} m_1 & m_2 \\ m_1(v_1^+ + v_1^-) & m_2(v_2^+ + v_2^-) \end{bmatrix} \begin{bmatrix} v_1^+ - v_1^- \\ v_2^+ - v_2^- \end{bmatrix} = 0.$$

Lineární soustava vzhledem k neznámým  $v_1^+ - v_1^-$ ,  $v_2^+ - v_2^-$  má netriviální řešení, tj.  $v_1^+ + v_1^- = v_2^+ + v_2^-$ , a tedy musíme řešit již plně lineární soustavu rovnic



# Nárazy kuliček

Modelování  
mechanických  
systémů

Holonomní a  
neholonomní  
omezení  
Příklad  
Zobecněné  
souřadnice

Zobecněné síly  
Princip virtuální  
práce  
d'Alembertův  
princip  
Lagrangeovy rovnice

Hamiltonián  
Hamiltonovské  
rovnice  
Kuličky na  
parabolické ploše

Model jedné kuličky

Nárazy kuliček

Hybridní systém s  
nárazy

Počáteční podmínky

Podaktuované  
systémy

Kráčející roboti

Rízení kráčejících  
robotů

INVESTICE DO ROZVOJE VZDĚLÁVÁNÍ

$$m_1 v_1^+ + m_2 v_2^+ = m_1 v_1^- + m_2 v_2^-,$$

$$v_1^+ - v_2^+ = -v_1^- + v_2^-,$$

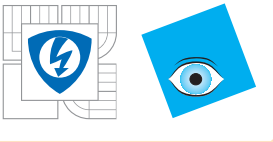
$$\begin{bmatrix} m_1 & m_2 \\ 1 & -1 \end{bmatrix} \begin{bmatrix} v_1^+ \\ v_2^+ \end{bmatrix} = \begin{bmatrix} m_1 & m_2 \\ -1 & 1 \end{bmatrix} \begin{bmatrix} v_1^- \\ v_2^- \end{bmatrix},$$

$$\begin{bmatrix} v_1^+ \\ v_2^+ \end{bmatrix} = \begin{bmatrix} \frac{m_1-m_2}{m_1+m_2} & \frac{2m_2}{m_1+m_2} \\ \frac{2m_1}{m_1+m_2} & \frac{m_2-m_1}{m_1+m_2} \end{bmatrix} \begin{bmatrix} v_1^- \\ v_2^- \end{bmatrix}. \quad (18)$$

Pro názornost, v případě stejných hmotností

$$\begin{bmatrix} v_1^+ \\ v_2^+ \end{bmatrix} = \begin{bmatrix} 0 & 1 \\ 1 & 0 \end{bmatrix} \begin{bmatrix} v_1^- \\ v_2^- \end{bmatrix},$$

což znamená, že si koule při nárazu prohodí své rychlosti.



# Nárazy kuliček

Modelování  
mechanických  
systémů

Holonomní a  
neholonomní  
omezení

Příklad  
Zobecněné  
souřadnice

Zobecněné síly  
Princip virtuální  
práce

d'Alembertův  
princip  
Lagrangeovy rovnice

Hamiltonián  
Hamiltonovské  
rovnice

Kuličky na  
parabolické ploše  
Model jedné kuličky

Nárazy kuliček

Hybridní systém s  
nárazy  
Počáteční podmínky

Podaktuované  
systémy

Kráčející roboti

Rízení kráčejících  
robotů

INVESTICE DO ROZVOJE VZDĚLÁVÁNÍ

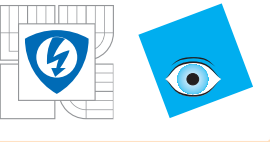
Naopak, pokud je jedna z hmotností zanedbatelně malá vzhledem k druhé, např.  $m_1 \gg m_2$ , dostaneme po úpravách a limitním přechodu, že

$$\begin{bmatrix} v_1^+ \\ v_2^+ \end{bmatrix} = \begin{bmatrix} 1 & 0 \\ 2 & -1 \end{bmatrix} \begin{bmatrix} v_1^- \\ v_2^- \end{bmatrix},$$

což znamená, že těžká kulička nezmění vůbec rychlosť, ale ta zanedbatelně lehká po nárazu zrychlí o rozdíl jejich rychlostí před nárazem.

Přímým výpočtem pak také snadno zjistíme, že pro jakékoliv hmotnosti má matice v (18) vlastní čísla rovná  $\pm 1$ .

Náraz jakožto diskrétní dynamický systém je tedy na mezi stability.



# Hybridní systém s nárazy

Modelování  
mechanických  
systémů

Holonomní a  
neholonomní  
omezení

Příklad  
Zobecněné  
souřadnice  
Zobecněné síly  
Princip virtuální  
práce

d'Alembertův  
princip  
Lagrangeovy rovnice

Hamiltonián  
Hamiltonovské  
rovnice  
Kuličky na  
parabolické ploše

Model jedné kuličky  
Nárazy kuliček

Hybridní systém s  
nárazy

Počáteční podmínky

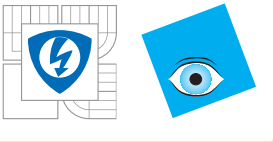
Podaktuované  
systémy

Kráčející roboti

Rízení kráčejících  
robotů

INVESTICE DO ROZVOJE VZDĚLÁVÁNÍ

$$\left\{ \begin{array}{l} x_1 \neq x_2 + 2rkx_2 : \\ \dot{x}_1 = x_3, \dot{x}_3 = -x_1 \frac{2gk+4k^2x_3}{1+4k^2x_1^2}, \\ \dot{x}_2 = x_4, \dot{x}_4 = -x_2 \frac{2gk+4k^2x_4}{1+4k^2x_2^2} \\ \\ x_1 = x_2 + 2rkx_2 : \\ x_1^+ = x_1^-, x_2^+ = x_2^-, \\ \begin{bmatrix} x_3^+ \\ x_4^+ \end{bmatrix} = \begin{bmatrix} \frac{m_1-m_2}{m_1+m_2} & \frac{2m_2}{m_1+m_2} \\ \frac{2m_1}{m_1+m_2} & \frac{m_2-m_1}{m_1+m_2} \end{bmatrix} \begin{bmatrix} x_3^- \\ x_4^- \end{bmatrix} \end{array} \right. \quad (19)$$



# Hybridní systém s nárazy

Modelování  
mechanických  
systémů

Holonomní a  
neholonomní  
omezení

Příklad  
Zobecněné  
souřadnice

Zobecněné síly  
Princip virtuální  
práce

d'Alembertův  
princip

Lagrangeovy rovnice

Hamiltonián  
Hamiltonovské  
rovnice

Kuličky na  
parabolické ploše

Model jedné kuličky  
Nárazy kuliček

Hybridní systém s  
nárazy

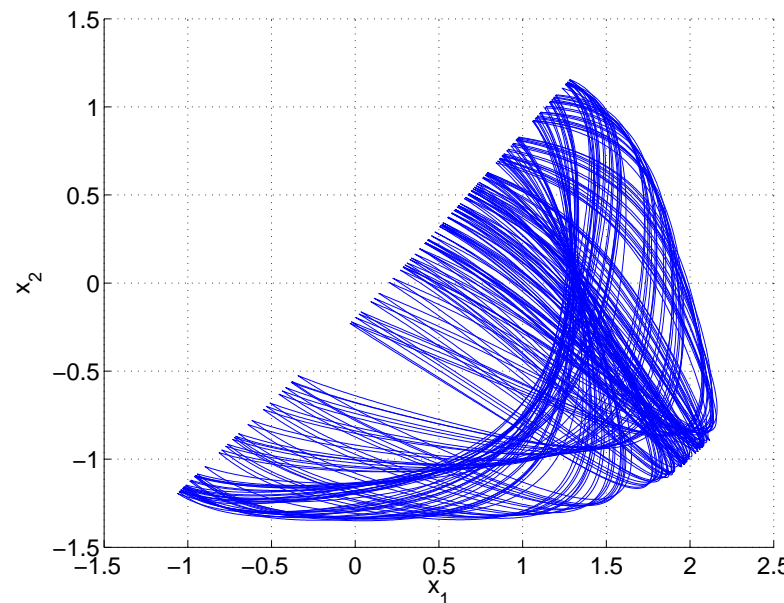
Počáteční podmínky

Podaktuované  
systémy

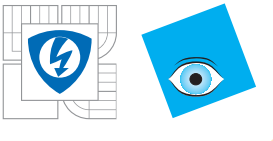
Kráčející roboti

Rízení kráčejících  
robotů

INVESTICE DO ROZVOJE VZDĚLÁVÁNÍ



Obrázek 3: Trajektorie poloh kuliček při 150 nárazech, vodo-  
rovná souřadnice na obrázku je polohou první kuličky, svislá  
souřadnice je polohou druhé kuličky.



# Silná závislost na počátečních podmírkách

Modelování  
mechanických  
systémů

Holonomní a  
neholonomní  
omezení

Příklad  
Zobecněné  
souřadnice

Zobecněné síly  
Princip virtuální  
práce  
d'Alembertův  
princip

Lagrangeovy rovnice

Hamiltonián  
Hamiltonovské  
rovnice

Kuličky na  
parabolické ploše

Model jedné kuličky

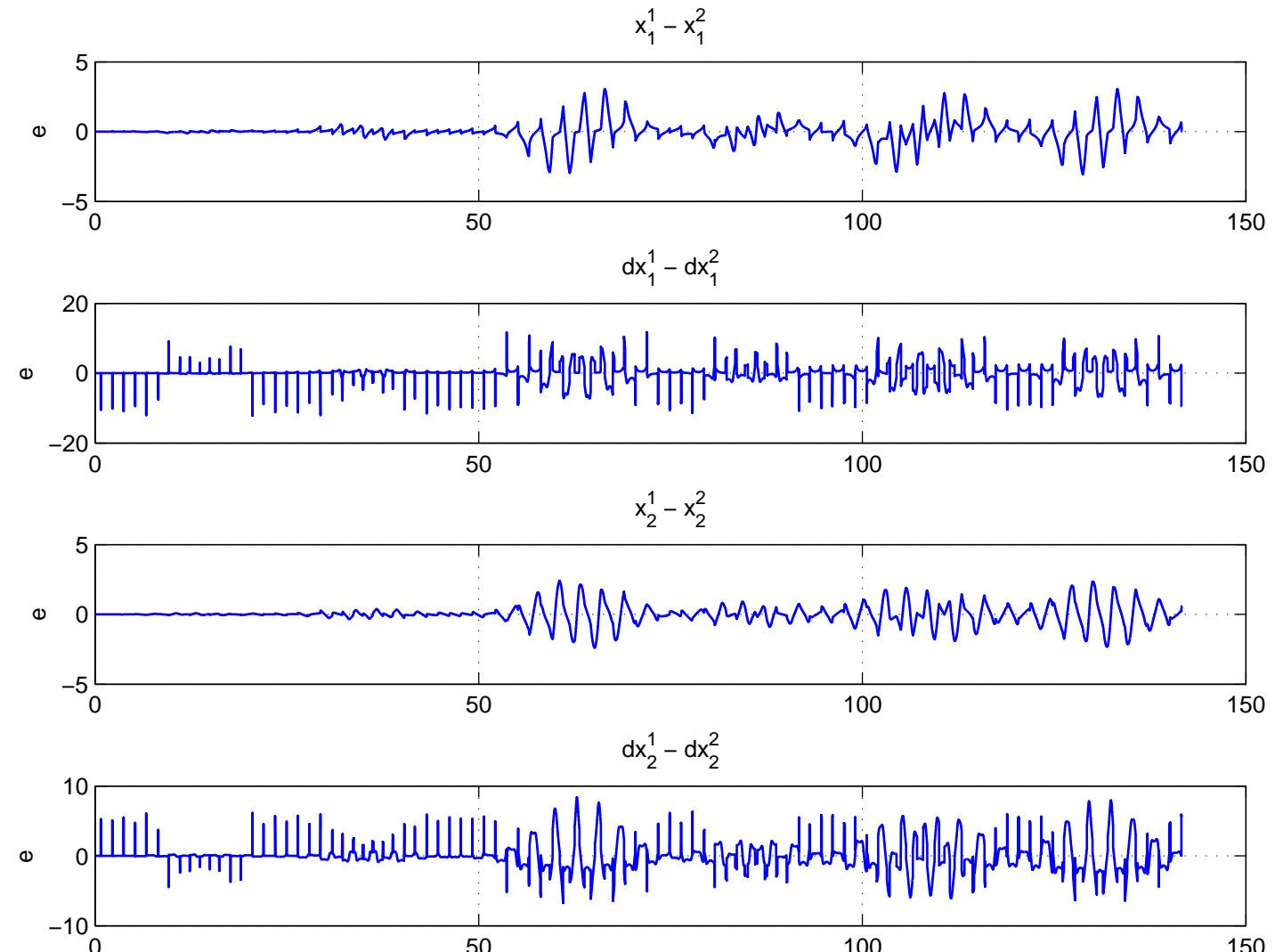
Nárazy kuliček  
Hybridní systém s  
nárazy

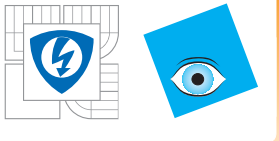
Počáteční podmínky

Podaktuované  
systémy

Kráčející roboti

Rízení kráčejících  
robotů





Modelování  
mechanických  
systémů

Podaktuované  
systémy

Akční veličiny

Rovnice

Stavový popis

Exaktní linearizace  
plně aktuovaného  
systému

Model

podaktuovaného

řetězce 2 článků

Hamiltonovský popis

modelu Acrobot

Model

podaktuovaného

řetězce 4 článků

Matice setrvačnosti

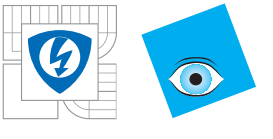
a gravitační členy

4-linku

Kráčející roboti

Řízení kráčejících  
robotů

# Podaktuované systémy



# Mechanické systémy s akčními členy

Modelování  
mechanických  
systémů

Podaktuované  
systémy

Akční veličiny

Rovnice

Stavový popis

Exaktní linearizace  
plně aktuovaného  
systému

Model  
podaktuovaného  
řetězce 2 článků  
Hamiltonovský popis  
modelu Acrobot

Model  
podaktuovaného  
řetězce 4 článků  
Matice setrvačnosti  
a gravitační členy  
4-linku

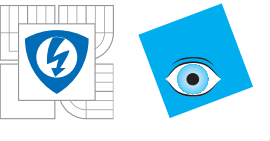
Kráčející roboti

Řízení kráčejících  
robotů

$$\frac{d}{dt} \frac{\partial \mathcal{L}}{\partial \dot{q}_j} - \frac{\partial \mathcal{L}}{\partial q_j} = Q_j, \quad \forall j = 1, \dots, s, \quad \mathcal{L} := K - V.$$

$$\left[ \begin{array}{c} \frac{d}{dt} \frac{\partial \mathcal{L}}{\partial \dot{q}_1} - \frac{\partial \mathcal{L}}{\partial q_1} \\ \vdots \\ \frac{d}{dt} \frac{\partial \mathcal{L}}{\partial \dot{q}_{n_{na}}} - \frac{\partial \mathcal{L}}{\partial q_{n_{na}}} \\ \frac{d}{dt} \frac{\partial \mathcal{L}}{\partial \dot{q}_{n_{na}+1}} - \frac{\partial \mathcal{L}}{\partial q_{n_{na}+1}} \\ \vdots \\ \frac{d}{dt} \frac{\partial \mathcal{L}}{\partial \dot{q}_n} - \frac{\partial \mathcal{L}}{\partial q_n} \end{array} \right] = u = \begin{bmatrix} 0 \\ \vdots \\ 0 \\ u_{n_{na}+1} \\ \vdots \\ u_n \end{bmatrix}, \quad 0 \leq n_{na} \leq n.$$

Místo  $s$  použijeme  $n$ ;  $n_{na}$  - stupeň podaktuovanosti, plně aktuovaný, pro  $n_{na} = 0$ , podaktuovaný pro  $0 < n_{na} < n$ , a neaktuovaný, pro  $n_{na} = n$ .



# Rovnice

Modelování  
mechanických  
systémů

Podaktuované  
systémy

Akční veličiny

Rovnice

Stavový popis  
Exaktní linearizace  
plně aktuovaného  
systému

Model  
podaktuovaného  
řetězce 2 článků  
Hamiltonovský popis  
modelu Acrobot

Model  
podaktuovaného  
řetězce 4 článků  
Matice setrvačnosti  
a gravitační členy  
4-linku

Kráčející roboti

Řízení kráčejících  
robotů

Kinetická energie  $K = \dot{q}^\top D(q)\dot{q}$ , **matice setrvačnosti**  
mechanického systému  $D(q) = D(q)^\top > 0$

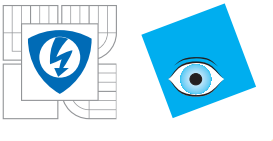
$$D(q)\ddot{q} + C(q, \dot{q})\dot{q} + G(q) = u,$$

$$G(q) = \frac{\partial \mathcal{V}}{\partial q}, \quad C(q, \dot{q})\dot{q} = \frac{d}{dt}[D(q)\dot{q}] - \frac{\partial}{\partial q}\left[\frac{1}{2}\dot{q}^\top D(q)\dot{q}\right]^\top.$$

$G(q)$  **vektor gravitačních členů**,

$C(q, \dot{q})$  **matice Coriolisových a odstředivých členů**

$C(q, \dot{q})\dot{q}$  **Coriolisovy a odstředivé členy.**



# Stavový popis

Modelování  
mechanických  
systémů

Podaktuované  
systémy

Akční veličiny

Rovnice

**Stavový popis**

Exaktní linearizace  
plně aktuovaného  
systému

Model  
podaktuovaného  
řetězce 2 článků  
Hamiltonovský popis  
modelu Acrobot

Model  
podaktuovaného

řetězce 4 článků

Matice setrvačnosti  
a gravitační členy  
4-linku

Kráčející roboti

Řízení kráčejících  
robotů

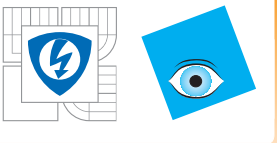
Přejdeme ke standardnímu stavovému popisu

$$x = (x_1, \dots, x_{2n})^\top,$$

$$x_1 = q_1, \dots, x_n = q_n, x_{n+1} = \dot{q}_1, \dots, x_{2n} = \dot{q}_n$$

$$\begin{bmatrix} \dot{x}_1 \\ \vdots \\ \dot{x}_n \end{bmatrix} = \begin{bmatrix} x_{n+1}, \\ \vdots \\ x_{2n}, \end{bmatrix}, \quad \begin{bmatrix} \dot{x}_{n+1} \\ \vdots \\ \dot{x}_{2n} \end{bmatrix} = D(x_1, \dots, x_n)^{-1}$$

$$\times \begin{bmatrix} -C(x_1, \dots, x_{2n}) \begin{bmatrix} x_{n+1} \\ \vdots \\ x_{2n} \end{bmatrix} - G(x_1, \dots, x_n) + u \end{bmatrix}.$$



# Exaktní linearizace plně aktuovaného systému

Modelování mechanických systémů

Podaktuované systémy

Akční veličiny

Rovnice

Stavový popis

Exaktní linearizace plně aktuovaného systému

Model podaktuovaného řetězce 2 článků Hamiltonovský popis modelu Acrobot

Model podaktuovaného řetězce 4 článků Matice setrvačnosti a gravitační členy 4-linku

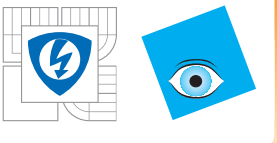
Kráčející roboti

Řízení kráčejících robotů

$$\begin{bmatrix} \dot{x}_1 \\ \vdots \\ \dot{x}_n \end{bmatrix} = \begin{bmatrix} x_{n+1}, \\ \vdots \\ x_{2n}, \end{bmatrix}, \quad \begin{bmatrix} \dot{x}_{n+1} \\ \vdots \\ \dot{x}_{2n} \end{bmatrix} = D(x_1, \dots, x_n)^{-1}$$

$$\times \begin{bmatrix} -C(x_1, \dots, x_{2n}) \\ x_{n+1} \\ \vdots \\ x_{2n} \end{bmatrix} - G(x_1, \dots, x_n) + \begin{bmatrix} u_1 \\ \vdots \\ u_n \end{bmatrix}.$$

$y = (x_1, \dots, x_n)$  je pomocným linearizujícím výstupem, má vektorový relativní stupeň  $(2, \dots, 2)$



# Exaktní linearizace plně aktuovaného systému

Modelování  
mechanických  
systémů

Podaktuované  
systémy

Akční veličiny

Rovnice

Stavový popis

Exaktní linearizace  
plně aktuovaného  
systému

Model  
podaktuovaného  
řetězce 2 článků

Hamiltonovský popis  
modelu Acrobot

Model  
podaktuovaného  
řetězce 4 článků

Matice setrvačnosti  
a gravitační členy

4-linku

Kráčející roboti

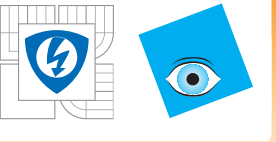
Řízení kráčejících  
robotů

$$v = D(x_1, \dots, x_n)^{-1}$$

$$-C(x) \begin{bmatrix} x_{n+1} \\ \vdots \\ x_{2n} \end{bmatrix} - G(x_1, \dots, x_n) + \begin{bmatrix} u_1 \\ \vdots \\ u_n \end{bmatrix},$$

která vede na exaktně zlinearizovaný systém

$$\begin{bmatrix} \dot{x}_1 \\ \vdots \\ \dot{x}_n \end{bmatrix} = \begin{bmatrix} x_{n+1}, \\ \vdots \\ x_{2n}, \end{bmatrix}, \quad \begin{bmatrix} \dot{x}_{n+1} \\ \vdots \\ \dot{x}_{2n} \end{bmatrix} = v = \begin{bmatrix} v_1 \\ \vdots \\ v_n \end{bmatrix}. \quad (20)$$



# Exaktní linearizace plně aktuovaného systému

Modelování mechanických systémů

Podaktuované systémy

Akční veličiny

Rovnice

Stavový popis

Exaktní linearizace plně aktuovaného systému

Model podaktuovaného řetězce 2 článků  
Hamiltonovský popis modelu Acrobot

Model podaktuovaného řetězce 4 článků  
Matici setrvačnosti a gravitační členy 4-linku

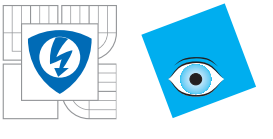
Kráčející roboti

Řízení kráčejících robotů

Exaktní linearizaci je pak možné použít k návrhu řízení následovně. Regulátor  $v = v(x)$  v systému (20) vede na regulátor pro původní mechanický systém:

$$\begin{aligned} u(x) &= D(q)v(x) + C(q, \dot{q})\dot{q} + G(q), \\ x &= (q_1, \dots, q_n, \dot{q}_1, \dots, \dot{q}_n)^\top, \end{aligned} \quad (21)$$

V robotice “computed torque”, nebo-li předvypočtený moment



# Model podaktuovaného řetězce 2 článků

Modelování  
mechanických  
systémů

Podaktuované  
systémy

Akční veličiny

Rovnice

Stavový popis

Exaktní linearizace  
plně aktuovaného  
systému

Model  
podaktuovaného  
řetězce 2 článků

Hamiltonovský popis

modelu Acrobot

Model

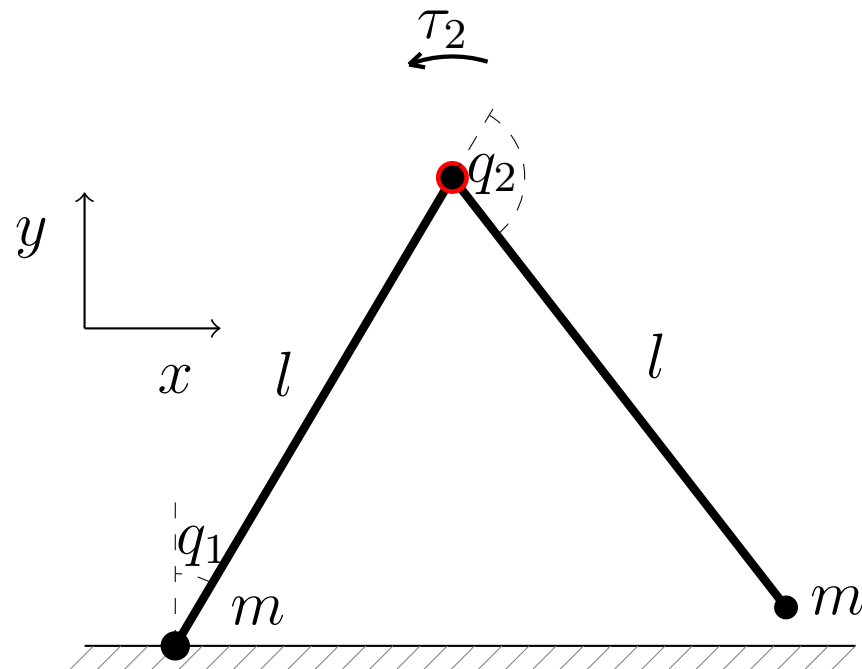
podaktuovaného  
řetězce 4 článků

Matice setrvačnosti  
a gravitační členy

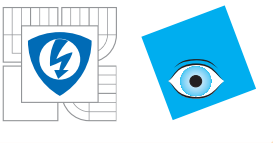
4-linku

Kráčející roboti

Řízení kráčejících  
robotů



Obrázek 4: Acrobot.



# Model podaktuovaného řetězce 2 článků

Modelování  
mechanických  
systémů

Podaktuované  
systémy

Akční veličiny

Rovnice

Stavový popis

Exaktní linearizace  
plně aktuovaného  
systému

Model  
podaktuovaného  
řetězce 2 článků

Hamiltonovský popis

modelu Acrobot

Model

podaktuovaného  
řetězce 4 článků

Matice setrvačnosti  
a gravitační členy  
4-linku

Kráčející roboti

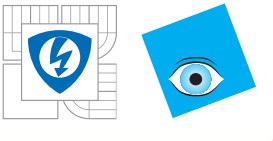
Rízení kráčejících  
robotů

Model Acroboata získáme pomocí Lagrangeho metody, tj.  
sestojíme Lagrangián  $\mathcal{L}(q, \dot{q}) = K - V = \frac{1}{2}\dot{q}^T D(q)\dot{q} - V(q)$ ,

$$\begin{bmatrix} \frac{d}{dt} \frac{\partial \mathcal{L}}{\partial \dot{q}_1} - \frac{\partial \mathcal{L}}{\partial q_1} \\ \frac{d}{dt} \frac{\partial \mathcal{L}}{\partial \dot{q}_2} - \frac{\partial \mathcal{L}}{\partial q_2} \end{bmatrix} = u = \begin{bmatrix} 0 \\ \tau_2 \end{bmatrix},$$

$$D(q)\ddot{q} + C(q, \dot{q})\dot{q} + G(q) = u = \begin{bmatrix} 0 \\ \tau_2 \end{bmatrix},$$

kde  $D(q)$  je matice setrvačnosti,  $C(q, \dot{q})\dot{q}$  jsou Coriolisovy a odstředivé síly,  $G(q)$  jsou gravitační síly a  $u$  jsou vnější řídící momenty. Pro kráčející roboty platí důležitý princip **kinetické symetrie** vzhledem ke  $q_1$ , tj.  $D(q) \equiv D(q_2)$ .



# Model podaktuovaného řetězce 2 článků

Modelování  
mechanických  
systémů

Podaktuované  
systémy

Akční veličiny

Rovnice

Stavový popis  
Exaktní linearizace  
plně aktuovaného  
systému

Model  
podaktuovaného  
řetězce 2 článků

Hamiltonovský popis  
modelu Acrobot

Model  
podaktuovaného  
řetězce 4 článků  
Matice setrvačnosti  
a gravitační členy  
4-linku

Kráčející roboti

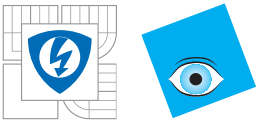
Řízení kráčejících  
robotů

$$D(q) = \begin{bmatrix} 2\theta_1 - 2\theta_2 + 2\theta_3 \cos q_2 & \theta_1 - 2\theta_2 + \theta_3 \cos q_2 \\ \theta_1 - 2\theta_2 + \theta_3 \cos q_2 & \theta_1 \end{bmatrix}$$

$$C(q, \dot{q}) = \begin{bmatrix} -2\theta_3 \sin q_2 \dot{q}_2 & -\theta_3 \sin q_2 \dot{q}_2 \\ \theta_3 \sin q_2 \dot{q}_1 & 0 \end{bmatrix}$$

$$G(q) = \begin{bmatrix} -\theta_4 \sin q_1 - \theta_5 \sin (q_1 + q_2) \\ -\theta_5 \sin (q_1 + q_2) \end{bmatrix}$$

$$\theta_1 = ml^2 + I, \quad \theta_2 = ml_c l, \quad \theta_3 = ml^2, \quad \theta_4 = mgl, \quad \theta_5 = mgl.$$



# Hamiltonovský popis modelu Acrobot

Modelování  
mechanických  
systémů

Podaktuované  
systémy

Akční veličiny  
Rovnice

Stavový popis  
Exaktní linearizace  
plně aktuovaného  
systému

Model  
podaktuovaného  
řetězce 2 článků

Hamiltonovský popis  
modelu Acrobot

Model  
podaktuovaného  
řetězce 4 článků  
Matice setrvačnosti  
a gravitační členy  
4-linku

Kráčející roboti

Řízení kráčejících  
robotů

$$\mathcal{H}(q, \sigma) = V(q) + \frac{1}{2} \sigma^\top D(q)^{-1} \sigma, \quad q = (q_1, q_2)^\top$$

$$D(q) = D(q_2) = \begin{bmatrix} d_{11}(q_2) & d_{12}(q_2) \\ d_{12}(q_2) & d_{22}(q_2) \end{bmatrix}$$

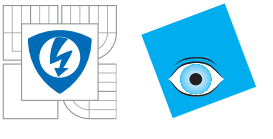
$$\sigma = (\sigma_1, \sigma_2)^\top = (\mathcal{L}_{q_1}, \mathcal{L}_{q_2})^\top = D(q)(\dot{q}_1, \dot{q}_2)$$

$$\dot{q}_1 = \frac{\partial \mathcal{H}(q, \sigma)}{\partial \sigma_1} = \frac{d_{22}(q_2)\sigma_1 - d_{12}(q_2)\sigma_2}{d_{11}(q_2)d_{22}(q_2) - d_{12}(q_2)^2}$$

$$\dot{q}_2 = \frac{\partial \mathcal{H}(q, \sigma)}{\partial \sigma_2} = \frac{d_{11}(q_2)\sigma_1 - d_{12}(q_2)\sigma_2}{d_{11}(q_2)d_{22}(q_2) - d_{12}(q_2)^2}$$

$$\dot{\sigma}_1 = -\frac{\partial \mathcal{H}(q, \sigma)}{\partial q_1}$$

$$\dot{\sigma}_2 = -\frac{\partial \mathcal{H}(q, \sigma)}{\partial q_2} + \tau_2.$$



# Hamiltonovský popis modelu Acrobot

Modelování  
mechanických  
systémů

Podaktuované  
systémy

Akční veličiny

Rovnice

Stavový popis

Exaktní linearizace  
plně aktuovaného  
systému

Model  
podaktuovaného  
řetězce 2 článků

Hamiltonovský popis  
modelu Acrobot

Model  
podaktuovaného  
řetězce 4 článků  
Matice setrvačnosti  
a gravitační členy  
4-linku

Kráčející roboti

Řízení kráčejících  
robotů

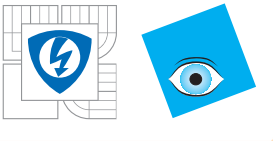
Odvodili jsme tedy **Hamiltonovský popis dynamiky modelu Acrobot**:

$$\dot{q}_1 = \frac{d_{22}(q_2)\sigma_1 - d_{12}(q_2)\sigma_2}{d_{11}(q_2)d_{22}(q_2) - d_{12}(q_2)^2} \quad (22)$$

$$\dot{q}_2 = \frac{d_{11}(q_2)\sigma_1 - d_{12}(q_2)\sigma_2}{d_{11}(q_2)d_{22}(q_2) - d_{12}(q_2)^2} \quad (23)$$

$$\dot{\sigma}_1 = -G_1(q) \quad (24)$$

$$\dot{\sigma}_2 = -G_2(q) + \frac{1}{2}\sigma^\top \frac{\partial D(q_2)^{-1}}{\partial q_2} \sigma + \tau_2. \quad (25)$$



# Hamiltonovský popis modelu Acrobot

Modelování  
mechanických  
systémů

Podaktuované  
systémy

Akční veličiny

Rovnice

Stavový popis  
Exaktní linearizace  
plně aktuovaného  
systému

Model  
podaktuovaného  
řetězce 2 článků

Hamiltonovský popis  
modelu Acrobot

Model  
podaktuovaného  
řetězce 4 článků  
Matice setrvačnosti  
a gravitační členy  
4-linku

Kráčející roboti

Řízení kráčejících  
robotů

Hamiltonovský popis pak lze v případě modelu Acrobot doplnit ještě zavedením dalších dvou souřadnic  $p_1(q), p_2(q)$ , místo zobecněných souřadnic:

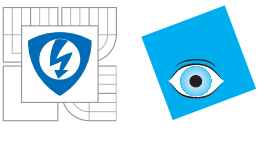
$$p_1(q) = q_1 + \int_0^{q_2} d_{12}(s)d_{11}^{-1}(s)ds \quad (26)$$

$$p_2(q) = q_1 + \int_0^{q_2} d_{22}(s)d_{12}^{-1}(s)ds. \quad (27)$$

Platí

$$\frac{\partial p}{\partial q} = \begin{bmatrix} 1 & d_{12}d_{11}^{-1} \\ 1 & d_{22}d_{12}^{-1} \end{bmatrix}, \quad \det \left[ \frac{\partial p}{\partial q} \right] d_{22}d_{12}^{-1} - d_{12}d_{11}^{-1} \quad (28)$$

$$= d_{12}d_{11}\det D(q) \neq 0 \Leftrightarrow d_{12}(q_2) \neq 0 \wedge d_{11}(q_2) \neq 0. \quad (29)$$



# Hamiltonovský popis modelu Acrobot

Modelování  
mechanických  
systémů

Podaktuované  
systémy

Akční veličiny

Rovnice

Stavový popis

Exaktní linearizace

plně aktuovaného  
systému

Model

podaktuovaného  
řetězce 2 článků

**Hamiltonovský popis  
modelu Acrobot**

Model

podaktuovaného  
řetězce 4 článků

Matice setrvačnosti  
a gravitační členy  
4-linku

Kráčející roboti

Řízení kráčejících  
robotů

Implicitně je jednoznačně definován i inverzní vztah  $q(p)$  a dostaneme:

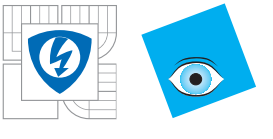
$$\dot{p}_1 = d_{11}^{-1}(q_2)\sigma_1 \quad (30)$$

$$\dot{p}_2 = d_{12}^{-1}(q_2)\sigma_2 \quad (31)$$

$$\dot{\sigma}_1 = -G_1(q) \quad (32)$$

$$\dot{\sigma}_2 = -G_2(q) + \frac{1}{2}\sigma^\top \frac{\partial D(q_2)^{-1}}{\partial q_2}\sigma + \tau_2, \quad (33)$$

kde za  $q$  všude dosadíme ze zmíněného inverzního vztahu  $q = q(p)$ . Popis (30-33) již není Hamiltonovský,  $p$  je sice možné považovat za určité zobecněné souřadnice, ale zobecněné hybnosti  $\sigma$  jim neodpovídají. Nicméně, popis (30-33), případně jeho části, budou dále využívány.



# Model podaktuovaného řetězce 4 článků

Modelování  
mechanických  
systémů

Podaktuované  
systémy

Akční veličiny

Rovnice

Stavový popis

Exaktní linearizace  
plně aktuovaného  
systému

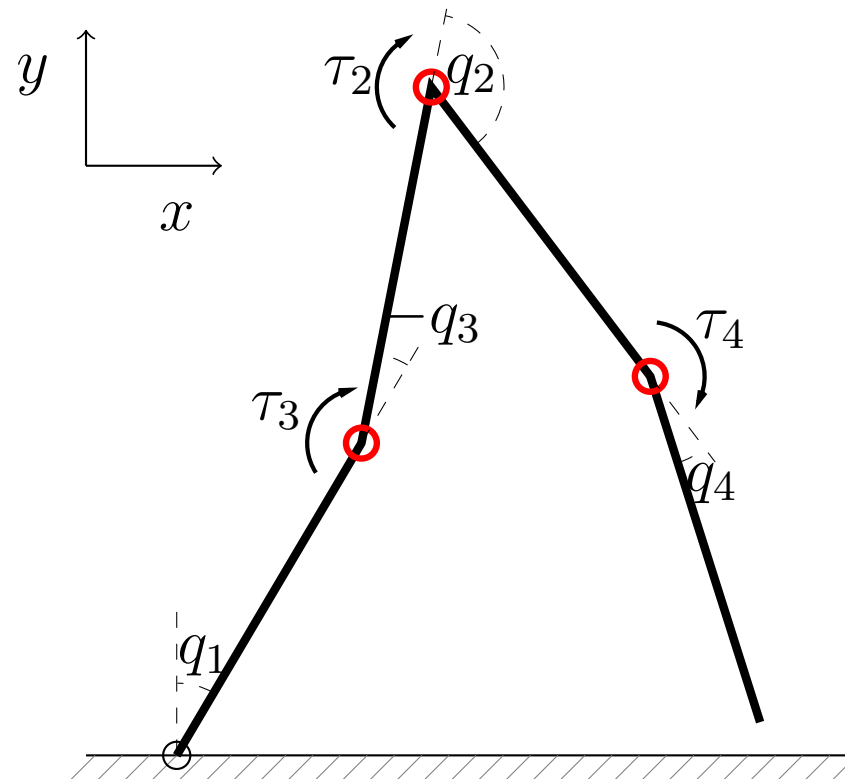
Model  
podaktuovaného  
řetězce 2 článků  
Hamiltonovský popis  
modelu Acrobot

Model  
podaktuovaného  
řetězce 4 článků

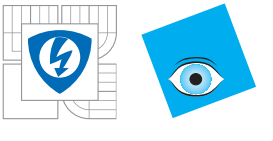
Matice setrvačnosti  
a gravitační členy  
4-linku

Kráčející roboti

Řízení kráčejících  
robotů



Obrázek 5: Kráčející mechanismus typu 4-link.



# Model podaktuovaného řetězce 4 článků

Modelování  
mechanických  
systémů

Podaktuované  
systémy

Akční veličiny

Rovnice

Stavový popis  
Exaktní linearizace  
plně aktuovaného  
systému

Model  
podaktuovaného  
řetězce 2 článků  
Hamiltonovský popis  
modelu Acrobot

Model  
podaktuovaného  
řetězce 4 článků

Matice setrvačnosti  
a gravitační členy  
4-linku

Kráčející roboti

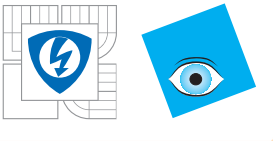
Řízení kráčejících  
robotů

$$\begin{bmatrix} \frac{d}{dt} \frac{\partial \mathcal{L}}{\partial \dot{q}_1} - \frac{\partial \mathcal{L}}{\partial q_1} \\ \vdots \\ \frac{d}{dt} \frac{\partial \mathcal{L}}{\partial \dot{q}_4} - \frac{\partial \mathcal{L}}{\partial q_4} \end{bmatrix} = u = \begin{bmatrix} 0 \\ \tau_2 \\ \tau_3 \\ \tau_4 \end{bmatrix}, \quad (34)$$

$u$  je opět vektorem zobecněných sil, kterými jsou opět momenty jednotlivých akčních členů. Zobecněnými souřadnicemi jsou opět úhly, viz obr. 5. Lagrangeovy rovnice (34) vedou pomocí standardních výpočtů k popisu

$$D(q_2, q_3, q_4)\ddot{q} + C(q, \dot{q})\dot{q} + G(q) = u, \quad (35)$$

kde  $D(q_2, q_3, q_4)$  je matice setrvačnosti,  $q_1$  je opět cyklickou souřadnicí,  $C(q, \dot{q})$  je maticí Coriolisových a odstředivých sil,  $G(q)$  je vektorem gravitačních sil.



# Matice setrvačnosti a gravitační členy 4-linku

Modelování  
mechanických  
systémů

Podaktuované  
systémy

Akční veličiny

Rovnice

Stavový popis

Exaktní linearizace  
plně aktuovaného  
systému

Model  
podaktuovaného  
řetězce 2 článků

Hamiltonovský popis

modelu Acrobot

Model

podaktuovaného

řetězce 4 článků

Matice setrvačnosti  
a gravitační členy  
4-linku

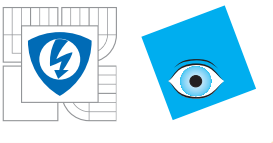
Kráčející roboti

Řízení kráčejících  
robotů

$$D(q) = \begin{bmatrix} d_{11} & d_{12} & d_{13} & d_{14} \\ d_{21} & d_{22} & d_{23} & d_{24} \\ d_{31} & d_{32} & d_{33} & d_{34} \\ d_{41} & d_{42} & d_{43} & d_{44} \end{bmatrix}, C(q, \dot{q}) = \begin{bmatrix} C^1 \\ C^2 \\ C^3 \\ C^4 \end{bmatrix}, G(q) = \begin{bmatrix} G_1 \\ G_2 \\ G_3 \\ G_4 \end{bmatrix},$$

$$\begin{aligned} d_{11} = & (I_1 + I_2 + I_3 + I_4 + l_1^2 m_2 + l_1^2 m_3 + l_1^2 m_4 \\ & + l_2^2 m_3 + l_2^2 m_4 + l_3^2 m_4 + l_{c1}^2 m_1 \\ & + l_{c2}^2 m_2 + l_{c3}^2 m_3 + l_{c4}^2 m_4 - 2l_1 l_3 m_4 \cos(q_2 + q_3) \\ & - 2l_1 l_{c3} m_3 \cos(q_2 + q_3) - 2l_2 l_{c4} m_4 \cos(q_2 + q_4) \\ & + 2l_1 l_2 m_3 \sin(q_3) + 2l_1 l_2 m_4 \sin(q_3) + 2l_2 l_3 m_4 \sin(q_2) + 2l_1 l_{c2} m_2 \sin(q_3) \\ & + 2l_2 l_{c3} m_3 \sin(q_2) + 2l_3 l_{c4} m_4 \sin(q_4) - 2l_1 l_{c4} m_4 \sin(q_2 + q_3 + q_4)) \end{aligned}$$

$$\begin{aligned} d_{12} = & (I_3 + I_4 + l_3^2 m_4 + l_{c3}^2 m_3 + l_{c4}^2 m_4 \\ & - l_1 l_3 m_4 \cos(q_2 + q_3) - l_1 l_{c3} m_3 \cos(q_2 + q_3) \\ & - l_2 l_{c4} m_4 \cos(q_2 + q_4) + l_2 l_3 m_4 \sin(q_2) + l_2 l_{c3} m_3 \sin(q_2) \\ & + 2l_3 l_{c4} m_4 \sin(q_4) - l_1 l_{c4} m_4 \sin(q_2 + q_3 + q_4)) \end{aligned}$$



# Matice setrvačnosti a gravitační členy 4-linku

Modelování  
mechanických  
systémů

Podaktuované  
systémy

Akční veličiny  
Rovnice

Stavový popis  
Exaktní linearizace  
plně aktuovaného  
systému

Model  
podaktuovaného  
řetězce 2 článků  
Hamiltonovský popis  
modelu Acrobot

Model  
podaktuovaného  
řetězce 4 článků  
Matice setrvačnosti  
a gravitační členy  
4-linku

Kráčející roboti

Řízení kráčejících  
robotů

$$d_{13} = (I_2 + I_3 + I_4 + l_2^2 m_3 + l_2^2 m_4 + l_3^2 m_4 + l_{c2}^2 m_2 + l_{c3}^2 m_3 + l_{c4}^2 m_4 - l_1 l_3 m_4 \cos(q_2 + q_3) - l_1 l_{c3} m_3 \cos(q_2 + q_3) - 2l_2 l_{c4} m_4 \cos(q_2 + q_4) + l_1 l_2 m_3 \sin(q_3) + l_1 l_2 m_4 \sin(q_3) + 2l_2 l_3 m_4 \sin(q_2) + l_1 l_{c2} m_2 \sin(q_3) + 2l_2 l_{c3} m_3 \sin(q_2) + 2l_3 l_{c4} m_4 \sin(q_4) - l_1 l_{c4} m_4 \sin(q_2 + q_3 + q_4))$$

$$d_{14} = (I_4 + l_{c4}^2 m_4 - l_2 l_{c4} m_4 \cos(q_2 + q_4) + l_3 l_{c4} m_4 \sin(q_4) - l_1 l_{c4} m_4 \sin(q_2 + q_3 + q_4))$$

$$d_{22} = (m_4 l_3^2 + 2m_4 \sin(q_4) l_3 l_{c4} + m_3 l_{c3}^2 + m_4 l_{c4}^2 + I_3 + I_4)$$

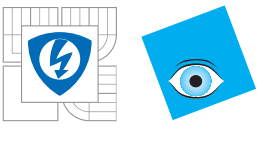
$$d_{23} = (m_4 l_3^2 + 2m_4 \sin(q_4) l_3 l_{c4} + l_2 m_4 \sin(q_2) l_3 + m_3 l_{c3}^2 + l_2 m_3 \sin(q_2) l_{c3} + m_4 l_{c4}^2 - l_2 m_4 \cos(q_2 + q_4) l_{c4} + I_3 + I_4)$$

$$d_{24} = (m_4 l_{c4}^2 + l_3 m_4 \sin(q_4) l_{c4} + I_4)$$

$$d_{33} = (I_2 + I_3 + I_4 + l_2^2 m_3 + l_2^2 m_4 + l_3^2 m_4 + l_{c2}^2 m_2 + l_{c3}^2 m_3 + l_{c4}^2 m_4 - 2l_2 l_{c4} m_4 \cos(q_2 + q_4) + 2l_2 l_3 m_4 \sin(q_2) + 2l_2 l_{c3} m_3 \sin(q_2) + 2l_3 l_{c4} m_4 \sin(q_4))$$

$$d_{34} = (I_4 + l_{c4}^2 m_4 - l_2 l_{c4} m_4 \cos(q_2 + q_4) + l_3 l_{c4} m_4 \sin(q_4))$$

$$d_{44} = (m_4 l_{c4}^2 + I_4)$$



# Matice setrvačnosti a gravitační členy 4-linku

Modelování  
mechanických  
systémů

Podaktuované  
systémy

Akční veličiny  
Rovnice

Stavový popis  
Exaktní linearizace  
plně aktuovaného  
systému

Model  
podaktuovaného  
řetězce 2 článků  
Hamiltonovský popis  
modelu Acrobot

Model  
podaktuovaného  
řetězce 4 článků  
Matice setrvačnosti  
a gravitační členy  
4-linku

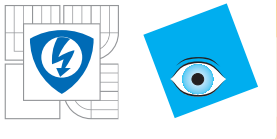
Kráčející roboti

Řízení kráčejících  
robotů

$$\begin{aligned}G_1 = & -gl_{c4}m_4 \sin(q_1 + q_2 + q_3 + q_4) - gl_2m_3 \sin(q_1 + q_3) - gl_2m_4 \sin(q_1 + q_3) \\& - gl_{c2}m_2 \sin(q_1 + q_3) - gl_1m_2 \sin(q_1) - gl_1m_3 \sin(q_1) - gl_1m_4 \sin(q_1) - \\& gl_{c1}m_1 \sin(q_1) - gl_3m_4 \sin(q_1 + q_2 + q_3) - gl_{c3}m_3 \sin(q_1 + q_2 + q_3) \\G_2 = & -gl_{c4}m_4 \sin(q_1 + q_2 + q_3 + q_4) - gl_3m_4 \sin(q_1 + q_2 + q_3) \\& - gl_{c3}m_3 \sin(q_1 + q_2 + q_3) \\G_3 = & -gl_{c4}m_4 \sin(q_1 + q_2 + q_3 + q_4) - gl_2m_3 \sin(q_1 + q_3) - \\& gl_2m_4 \sin(q_1 + q_3) - gl_{c2}m_2 \sin(q_1 + q_3) \\& - gl_3m_4 \sin(q_1 + q_2 + q_3) - gl_{c3}m_3 \sin(q_1 + q_2 + q_3) \\G_4 = & -gl_{c4}m_4 \sin(q_1 + q_2 + q_3 + q_4).\end{aligned}$$

Také 4-link má virtuální výstup s relativním stupněm 3:

$$\dot{\sigma}_1 = -G_1(q_1, q_2, q_3, q_4).$$



Modelování  
mechanických  
systémů

Podaktuované  
systémy

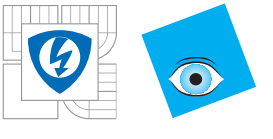
### Kráčející roboti

Acrobot: obecnější  
rozložení hmotnosti  
Acrobot: odvození  
dopadového  
zobrazení

Řízení kráčejících  
robotů

# Kráčející roboti





# Acrobot: obecnější rozložení hmotnosti

Modelování  
mechanických  
systémů

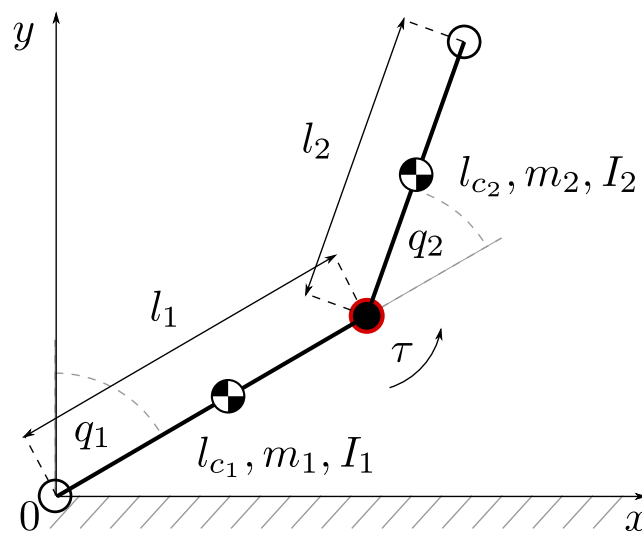
Podaktuované  
systémy

Kráčející roboti

Acrobot: obecnější  
rozložení hmotnosti

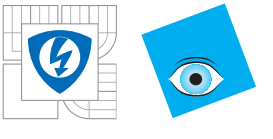
Acrobot: odvození  
dopadového  
zobrazení

Řízení kráčejících  
robotů



Obrázek 6: Acrobot

$$\begin{aligned}x &= (q_1, q_2, \dot{q}_1, \dot{q}_2)^T, \quad q = (q_1, q_2)^T, \\ \dot{q} &= (\dot{q}_1, \dot{q}_2)^T, \quad u = (0, \tau)^T, \quad y = (q_1, \dot{q}_1, q_2). \\ x_1 &= l_{c1} \sin(q_1), \quad y_1 = l_{c1} \cos(q_1) \\ x_2 &= l_1 \sin(q_1) + l_{c2} \sin(q_1 + q_2) \\ y_2 &= l_1 \cos(q_1) + l_{c2} \cos(q_1 + q_2)\end{aligned}$$



# Acrobot: obecnější rozložení hmotnosti

Modelování  
mechanických  
systémů

Podaktuované  
systémy

Kráčející roboti

Acrobot: obecnější  
rozložení hmotnosti

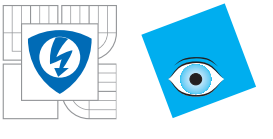
Acrobot: odvození  
dopadového  
zobrazení

Řízení kráčejících  
robotů

$$\begin{aligned}T_1 &= \frac{1}{2}m_1 \left( \frac{d^2X_1}{dt^2} + \frac{d^2Y_1}{dt^2} \right) = \frac{1}{2} \left( m_1 l_{c1}^2 + I_1 \right) \dot{q}_1^2 \\T_2 &= \frac{1}{2}m_2 \left( \frac{d^2X_2}{dt^2} + \frac{d^2Y_2}{dt^2} \right) = \frac{1}{2} \left( m_2 \left( l_1^2 + l_{c2}^2 + 2l_1 l_{c2} \cos(q_2) \right) \right. \\&\quad \left. + I_2 \right) \dot{q}_1^2 + \frac{1}{2} \left( m_2 l_{c2}^2 + I_2 \right) \dot{q}_2^2 \\&\quad + 2 \left( m_2 l_{c2}^2 + I_2 + m_2 l_1 l_{c2} \cos(q_2) \right) \dot{q}_1 \dot{q}_2 \\V_1 &= m_1 g (l_{c1} \cos(q_1)), V_2 = m_2 g (l_1 \cos(q_1) + l_{c2} \cos(q_1 + q_2))\end{aligned}$$

$$\theta_1 = m_1 l_{c1}^2 + I_1 + m_2 l_1^2, \quad \theta_2 = m_2 l_{c2}^2 + I_2,$$

$$\theta_3 = m_2 l_1 l_{c2}, \quad \theta_4 = m_1 l_{c1} + m_2 l_1, \quad \theta_5 = m_2 l_{c2},$$



# Acrobot: obecnější rozložení hmotnosti

Modelování  
mechanických  
systémů

Podaktuované  
systémy

Krácející roboti

Acrobot: obecnější  
rozložení hmotnosti

Acrobot: odvození  
dopadového  
zobrazení

Řízení krácejících  
robotů

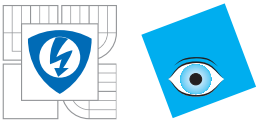
$$\mathbf{D}(\mathbf{q})\ddot{\mathbf{q}} + \mathbf{C}(\mathbf{q}, \dot{\mathbf{q}})\dot{\mathbf{q}} + \mathbf{G}(\mathbf{q}) = [0, \tau_1]^T$$

$$\mathbf{D} = \begin{bmatrix} \theta_1 + \theta_2 + 2\theta_3 \cos(q_2); & \theta_2 + \theta_3 \cos(q_2) \\ \theta_2 + \theta_3 \cos(q_2); & \theta_2 \end{bmatrix},$$

$$\mathbf{C} = \begin{bmatrix} -2\theta_3 \sin(q_2)\dot{q}_2; & -\theta_3 \sin(q_2)\dot{q}_2 \\ \theta_3 \sin(q_2)\dot{q}_1; & 0 \end{bmatrix},$$

$$\mathbf{G} = \begin{bmatrix} -\theta_4 g \sin(q_1) - \theta_5 g \sin(q_1 + q_2) \\ -\theta_5 g \sin(q_1 + q_2) \end{bmatrix}.$$

$$\begin{aligned} \theta_1 &= m(l_c^2 + l^2) + I, & \theta_2 &= ml_c l, & \theta_3 &= ml(l - l_c), \\ \theta_4 &= mg(l + l_c), & \theta_5 &= mg(l - l_c). \end{aligned}$$



# Acrobot: odvození dopadového zobrazení

Modelování  
mechanických  
systémů

Podaktuované  
systémy

Kráčející roboti

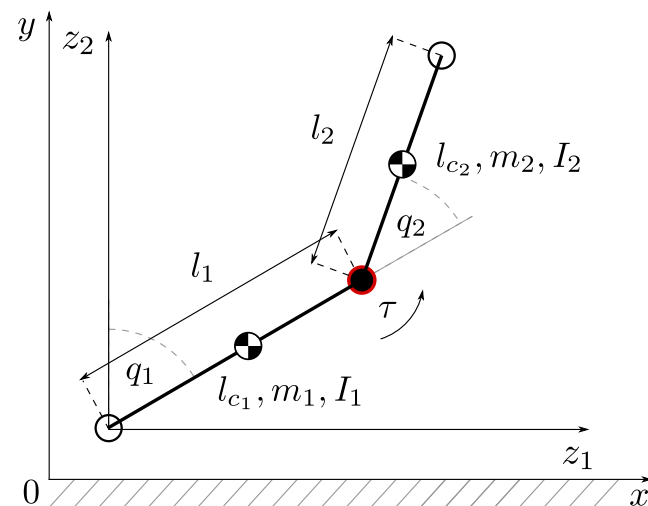
Acrobot: obecnější  
rozložení hmotností

Acrobot: odvození  
dopadového  
zobrazení

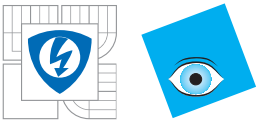
Rízení kráčejících  
robotů

Neukotvený Acrobot se 4 stupni volnosti:

$q_e = [q_1, q_2, z_1, z_2]$ . Spolu s vektorem zobecněných rychlostí  $\dot{q}_e = [\dot{q}_1, \dot{q}_2, \dot{z}_1, \dot{z}_2]$  můžeme sestavit následující rozšířený vektor stavových souřadnic  $x_e = [q_e, \dot{q}_e]$ .



Obrázek 7: Neukotvený Acrobot.



# Acrobot: odvození dopadového zobrazení

Modelování  
mechanických  
systémů

Podaktuované  
systémy

Kráčející roboti

Acrobot: obecnější  
rozložení hmotnosti

Acrobot: odvození  
dopadového  
zobrazení

Řízení kráčejících  
robotů

Opět se snažíme odvodit rovnice ve tvaru:

$$\mathbf{D}_e(q_e)\ddot{q}_e + \mathbf{C}_e(q_e, \dot{q}_e)\dot{q}_e + \mathbf{G}_e(q_e) = [0, \tau, 0, 0]^T \quad (36)$$

Kartézské souřadnice hmotného středu jsou

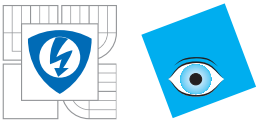
$$x_1 = l_{c_1} \sin(q_1) + z_1$$

$$y_1 = l_{c_1} \cos(q_1) + z_2$$

$$x_2 = l_1 \sin(q_1) + l_{c_2} \sin(q_1 + q_2) + z_1$$

$$y_2 = l_1 \cos(q_1) + l_{c_2} \cos(q_1 + q_2) + z_2,$$

a proto kinetické a potenciální energie jednotlivých článků  
jsou  $T_1$ ,  $T_2$  a  $V_1$ ,  $V_2$ :



# Acrobot: odvození dopadového zobrazení

Modelování  
mechanických  
systémů

Podaktuované  
systémy

Kráčející roboti

Acrobot: obecnější  
rozložení hmotností

Acrobot: odvození  
dopadového  
zobrazení

Řízení kráčejících  
robotů

$$\begin{aligned} T_1 &= \frac{1}{2}m_1 \left( \frac{d^2X_1}{dt^2} + \frac{d^2Y_1}{dt^2} \right) = \frac{1}{2}m_1 \left( l_{c1}^2 \dot{q}_1^2 + 2l_{c1} \cos(q_1) \dot{q}_1 \dot{z}_1 + \right. \\ &\quad \left. - 2l_{c1} \sin(q_1) \dot{q}_1 \dot{z}_2 + \dot{z}_1 + \dot{z}_2 \right) + \frac{1}{2}I_1 \dot{q}_1^2 \\ T_2 &= \frac{1}{2}m_2 \left( \frac{d^2X_2}{dt^2} + \frac{d^2Y_2}{dt^2} \right) = \frac{1}{2} \left( m_2 \left( l_1^2 + l_{c2}^2 + 2l_1 l_{c2} \cos(q_2) \right) \dot{q}_1^2 + \right. \\ &\quad + I_2 \dot{q}_1^2 + \left( m_2 l_{c2}^2 + I_2 \right) \dot{q}_2^2 + m_2 \dot{z}_1 + m_2 \dot{z}_2 \right) + \left( m_2 l_{c2}^2 + I_2 + \right. \\ &\quad \left. + m_2 l_1 l_{c2} \cos(q_2) \right) \dot{q}_1 \dot{q}_2 + m_2 (l_{c2} \cos(q_1 + q_2) + \\ &\quad + l_1 \cos(q_1)) \dot{q}_1 \dot{z}_1 - m_2 (l_1 \sin(q_1) + l_{c2} \sin(q_1 + q_2)) \dot{q}_1 \dot{z}_2 + \\ &\quad + m_2 l_{c2} \cos(q_1 + q_2) \dot{q}_2 \dot{z}_1 - m_2 l_{c2} \sin(q_1 + q_2) \dot{q}_2 \dot{z}_2 \\ V_1 &= m_1 g (l_{c1} \cos(q_1) + z_2), \quad V_2 = m_2 g (l_1 \cos(q_1) + l_{c2} \cos(q_1 + q_2) + z_2). \end{aligned}$$



Modelování  
mechanických  
systémů

Podaktuované  
systémy

Kráčející roboti

Acrobot: obecnější  
rozložení hmotností

Acrobot: odvození  
dopadového  
zobrazení

Rízení kráčejících  
robotů

# Acrobot: odvození dopadového zobrazení

$$D_e^{11} = m_1 l_{c_1}^2 + m_2 (l_1 + l_1^2) + I_1 + I_2 + 2m_2 l_1 l_{c_2} \cos(q_2)$$

$$D_e^{12} = m_2 l_{c_2} (l_{c_2} + l_1 \cos(q_2)) + I_2$$

$$D_e^{13} = m_1 l_{c_1} \cos(q_1) + m_2 l_1 \cos(q_1) + m_2 l_{c_2} \cos(q_1 + q_2)$$

$$D_e^{14} = -m_1 l_{c_1} \sin(q_1) - m_2 l_{c_2} \sin(q_1 + q_2) - m_2 l_1 \sin(q_1)$$

$$D_e^{21} = m_2 l_{c_2} (l_{c_2} + l_1 \cos(q_2)) + I_2, D^{22} = m_2 l_{c_2}^2 + I_2,$$

$$D_e^{23} = m_2 l_{c_2} \cos(q_1 + q_2), D^{24} = -m_2 l_{c_2} \sin(q_1 + q_2)$$

$$D_e^{31} = m_2 (l_1 \cos(q_1) + l_{c_2} \cos(q_1 + q_2)) + m_1 l_{c_1} \cos(q_1)$$

$$D_e^{32} = m_2 l_{c_2} \cos(q_1 + q_2), D^{33} = m_1 + m_2, D^{34} = 0$$

$$D_e^{41} = -m_1 l_{c_1} \sin(q_1) - m_2 (l_1 \sin(q_1) + l_{c_2} \sin(q_1 + q_2))$$

$$D_e^{42} = -m_2 l_{c_2} \sin(q_1 + q_2), D^{43} = 0, D^{44} = (m_1 + m_2)$$

$$C_e^{11} = -2m_2 l_1 l_{c_2} \sin(q_2) \dot{q}_2, C^{12} = -m_2 l_1 l_{c_2} \sin(q_2) \dot{q}_2, C^{13} = 0,$$

$$C_e^{14} = 0, C^{21} = m_2 l_1 l_{c_2} \sin(q_2) \dot{q}_1, C^{22} = 0, C^{23} = 0, C^{24} = 0$$

$$C_e^{31} = (-m_1 l_{c_1} \sin(q_1) - m_2 l_{c_2} \sin(q_1 + q_2) - m_2 l_1 \sin(q_1)) \dot{q}_1 + \\ - 2m_2 l_{c_2} \sin q_1 + q_2 \dot{q}_2$$

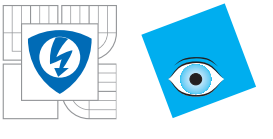
$$C_e^{32} = -m_2 l_{c_2} \sin(q_1 + q_2) \dot{q}_2, C^{33} = 0, C^{34} = 0$$

$$C_e^{41} = (-m_1 l_{c_1} \cos(q_1) - m_2 l_{c_2} \cos(q_1 + q_2) - m_2 l_1 \cos(q_1)) \dot{q}_1 \\ - 2m_2 l_{c_2} \cos q_1 + q_2 \dot{q}_2$$

$$C_e^{42} = -m_2 l_{c_2} \cos(q_1 + q_2) \dot{q}_2, C^{43} = 0, C^{44} = 0,$$

$$G_e^1 = -m_1 g l_{c_1} \sin(q_1) - m_2 g l_1 \sin(q_1) - m_2 g l_{c_2} \sin(q_1 + q_2)$$

$$G_e^2 = -m_2 g l_{c_2} \sin(q_1 + q_2), G_e^3 = 0, G_e^4 = m_1 g + m_2 g.$$



# Acrobot: odvození dopadového zobrazení

Modelování  
mechanických  
systémů

Podaktuované  
systémy

Kráčející roboti

Acrobot: obecnější  
rozložení hmotností

Acrobot: odvození  
dopadového  
zobrazení

Řízení kráčejících  
robotů

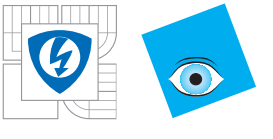
$$\mathbf{D}_e(q_e)\ddot{q}_e + \mathbf{C}_e(q_e, \dot{q}_e)\dot{q}_e + \mathbf{G}_e(q_e) = \mathbf{B}\tau + \delta\mathbf{F}^{\text{ext}}$$

$$\mathbf{D}_e(q_e) (\dot{q}_e^+ - \dot{q}_e^-) = \mathbf{F}^{\text{ext}}$$

$$\mathbf{F}^{\text{ext}} = \int_{t^-}^{t^+} \delta F^{\text{ext}}(\tau) d\tau$$

$$\Upsilon = \begin{bmatrix} z_1 + l_1 \sin(q_1) + l_2 \sin(q_1 + q_2) \\ z_2 + l_1 \cos(q_1) + l_2 \cos(q_1 + q_2) \end{bmatrix} \quad (37)$$

$$\mathbf{F}^{\text{ext}} = -\mathbf{E}^T \begin{bmatrix} F_T \\ F_N \end{bmatrix}, \quad (38)$$



# Acrobot: odvození dopadového zobrazení

Modelování  
mechanických  
systémů

Podaktuované  
systémy

Kráčející roboti

Acrobot: obecnější  
rozložení hmotností

Acrobot: odvození  
dopadového  
zobrazení

Rízení kráčejících  
robotů

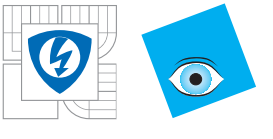
$$\mathbf{E} = \frac{\partial \boldsymbol{\Upsilon}}{\partial q_e} =$$

$$\begin{bmatrix} l_1 \cos(q_1) + l_2 \cos(q_1 + q_2), & l_2 \cos(q_1 + q_2), & 1, & 0 \\ -l_1 \sin(q_1) - l_2 \sin(q_1 + q_2), & -l_2 \sin(q_1 + q_2), & 0, & 1 \end{bmatrix}.$$

$$\mathbf{E} \dot{q}_e^+ = 0. \quad (39)$$

$$\begin{bmatrix} \mathbf{D}_e & \mathbf{E}^T \\ \mathbf{E} & \mathbf{0} \end{bmatrix} \begin{bmatrix} \dot{q}_e^+ \\ \mathbf{F} \end{bmatrix} = \begin{bmatrix} \mathbf{D}_e \dot{q}_e^- \\ \mathbf{0} \end{bmatrix} \quad (40)$$

$$\dot{q}_e^+ = \left[ \mathbf{I}_4 + \mathbf{D}_e^{-1} \mathbf{E}^T \left[ \mathbf{E} \mathbf{D}_e^{-1} \mathbf{E}^T \right]^{-1} \mathbf{E} \right]^{-1} \dot{q}_e^-.$$



# Acrobot: odvození dopadového zobrazení

Modelování  
mechanických  
systémů

Podaktuované  
systémy

Kráčející roboti

Acrobot: obecnější  
rozložení hmotností

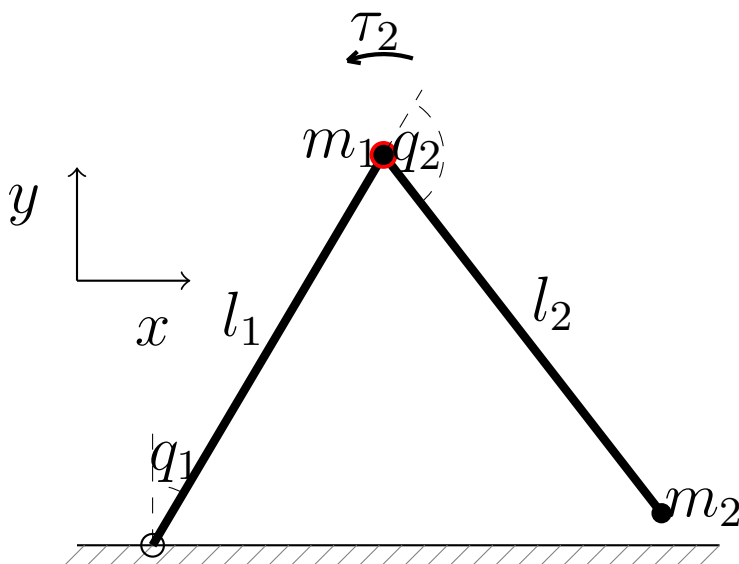
Acrobot: odvození  
dopadového  
zobrazení

Řízení kráčejících  
robotů

$$\tilde{q}_1^+ = q_1^- + q_2^- - \pi, \quad \tilde{q}_2^+ = -q_2^-$$

$$\dot{\tilde{q}}_1^+ = \dot{q}_1^+ + \dot{q}_2^+, \quad \dot{\tilde{q}}_2^+ = -\dot{q}_2^+.$$

$$q_e = [q_1, q_2, z_1, z_2], \quad \dot{q}_e = [\dot{q}_1, \dot{q}_2, \dot{z}_1, \dot{z}_2].$$





Modelování  
mechanických  
systémů

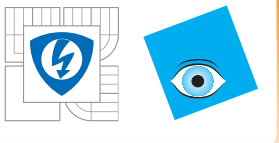
Podaktuované  
systémy

Kráčející roboti

Řízení kráčejících  
robotů

Acrobot -  
podaktuovaná chůze  
pomocí linearizace  
řádu 3  
4-link: 3 virtuální  
omezení  
4-link: 2 virtuální  
omezení  
Porovnání 2 a 3  
omezení

# Řízení kráčejících robotů



# Acrobot - podaktuovaná chůze pomocí linearizace řádu 3

Modelování  
mechanických  
systémů

Podaktuované  
systémy

Kráčející roboti

Řízení kráčejících  
robotů

Acrobot -  
podaktuovaná chůze  
pomocí linearizace  
řádu 3

4-link: 3 virtuální  
omezení

4-link: 2 virtuální  
omezení

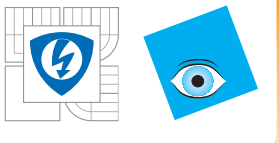
Porovnání 2 a 3  
omezení

$$\begin{bmatrix} \frac{d}{dt} \frac{\partial \mathcal{L}}{\partial \dot{q}_1} - \frac{\partial \mathcal{L}}{\partial q_1} \\ \frac{d}{dt} \frac{\partial \mathcal{L}}{\partial \dot{q}_n} - \frac{\partial \mathcal{L}}{\partial q_n} \end{bmatrix} = u = \begin{bmatrix} 0 \\ \tau_2 \end{bmatrix},$$

$$D(q)\ddot{q} + C(q, \dot{q})\dot{q} + G(q) = u,$$

$D(q)$  matice setrvačnosti,  $C(q, \dot{q})\dot{q}$  Coriolisovy a odstředivé síly,  $G(q)$  gravitační síly,  $u$  vnější řídící momenty. Kráčející roboti: princip **kinetické symetrie** vzhledem ke  $q_1$ , tj.

$D(q) \equiv D(q_2)$ , jinými slovy, kinetická energie nezávisí na  $q_1$ .



# Acrobot - podaktuovaná chůze pomocí linearizace řádu 3

Modelování  
mechanických  
systémů

Podaktuované  
systémy

Kráčející roboti

Řízení kráčejících  
robotů

Acrobot -  
podaktuovaná chůze  
pomocí linearizace  
řádu 3

4-link: 3 virtuální  
omezení

4-link: 2 virtuální  
omezení

Porovnání 2 a 3  
omezení

Zobecnělý moment  $\sigma = \frac{\partial \mathcal{L}}{\partial \dot{q}_1} = d_{11}(q_2)\dot{q}_1 + d_{12}(q_2)\dot{q}_2$ .

Díky shodě neaktuované proměnné s proměnnou kinetické symetrie platí

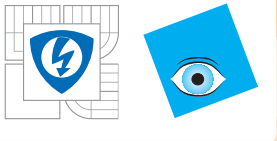
$$\dot{\sigma} = \frac{\partial \mathcal{L}}{\partial q_1} = -\frac{\partial V}{\partial q_1} = G_1(q).$$

Zobecnělý moment má v případě modelu Acrobot tvar

$$\sigma = \frac{\partial \mathcal{L}}{\partial \dot{q}_1} = (\theta_1 + \theta_2 + 2\theta_3 \cos q_2)\dot{q}_1 + (\theta_2 + \theta_3 \cos q_2)\dot{q}_2$$

Další proměnnou s relativním stupněm 3 je

$$p = q_1 + \frac{q_2}{2} + \frac{2\theta_2 - \theta_1 - \theta_2}{\sqrt{(\theta_1 + \theta_2)^2 - 4\theta_3^2}} \arctan \left( \sqrt{\frac{\theta_1 + \theta_2 - 2\theta_3}{\theta_1 + \theta_2 + 2\theta_3}} \tan \frac{q_2}{2} \right)$$



# Acrobot - podaktuovaná chůze pomocí linearizace řádu 3

Modelování  
mechanických  
systémů

Podaktuované  
systémy

Kráčející roboti

Řízení kráčejících  
robotů

Acrobot -  
podaktuovaná chůze  
pomocí linearizace  
řádu 3

4-link: 3 virtuální  
omezení

4-link: 2 virtuální  
omezení

Porovnání 2 a 3  
omezení

Platí  $\dot{p} = d_{11}^{-1}\sigma$ , a proto transformace

$$T : \quad \xi_1 = p, \quad \xi_2 = \sigma, \quad \xi_3 = \dot{\sigma}, \quad \xi_4 = \ddot{\sigma}$$

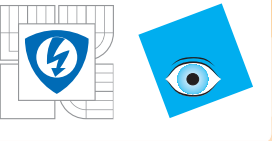
vede na novou reprezentaci dynamiky pro Acrobot

$$\dot{\xi}_1 = d_{11}^{-1}(q_2) \xi_2, \quad \dot{\xi}_2 = \xi_3, \quad \dot{\xi}_3 = \xi_4, \quad \dot{\xi}_4 = \alpha(q, \dot{q})\tau_2 + \beta(q, \dot{q}) = w$$

Ke sledování navrheme referenční trajektorii:

$$\dot{\xi}_1^r = d_{11}^{-1}(q_2^r) \xi_2^r, \quad \dot{\xi}_2^r = \xi_3^r, \quad \dot{\xi}_3^r = \xi_4^r, \quad \dot{\xi}_4^r = w^r = 0,$$

tzv. pseudo-pasivní trajektorii.



# Acrobot - podaktuovaná chůze pomocí linearizace řádu 3

Modelování  
mechanických  
systémů

Podaktuované  
systémy

Kráčející roboti

Řízení kráčejících  
robotů

Acrobot -  
podaktuovaná chůze  
pomocí linearizace  
řádu 3

4-link: 3 virtuální  
omezení

4-link: 2 virtuální  
omezení

Porovnání 2 a 3  
omezení

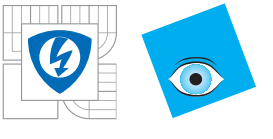
Máme-li referenční trajektorii, potom jejího exponenciálně stabilního sledování dosáhneme následovně. Označme  $e := \xi - \xi^r$ , potom

$$\begin{aligned}\dot{e}_1 &= d_{11}^{-1}(\phi_2(\xi_1, \xi_3))\xi_2 - d_{11}^{-1}(\phi_2(\xi_1^r, \xi_3^r))\xi_2^r \\ \dot{e}_2 &= e_3, \quad \dot{e}_3 = e_4, \quad \dot{e}_4 = w - w^r.\end{aligned}$$

$$\begin{aligned}\dot{e}_1 &= \mu_1(t)e_1 + \mu_2(t)e_2 + \mu_3(t)e_3 + o(e) \\ \dot{e}_2 &= e_3, \quad \dot{e}_3 = e_4, \quad \dot{e}_4 = w - w^r\end{aligned}$$

Nyní zbývá navrhnut zpětnou vazbu

$w = w^r + K_1 e_1 + K_2 e_2 + K_3 e_3 + K_4 e_4$ , která stabilizuje tuto chybovou dynamiku. K tomu byla vyvinuta celá řada metod návrhu zesílení  $K_1, K_2, K_3, K_4$ .



## 4-link: 3 virtuální omezení

Modelování  
mechanických  
systémů

Podaktuované  
systémy

Kráčející roboti

Řízení kráčejících  
robotů

Acrobot -  
podaktuovaná chůze  
pomocí linearizace  
řádu 3

4-link: 3 virtuální  
omezení

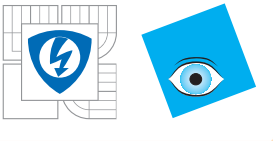
4-link: 2 virtuální  
omezení  
Porovnání 2 a 3  
omezení

Nejpre vybereme sadu funkcí, které určí závislosti úhlů  $q_2$ ,  $q_3$  a  $q_4$  na úhlu  $q_1$ . Jinými slovy, úhel  $q_2$  je dán funkcí  $q_2 = \Phi_2(q_1)$ , úhel  $q_3$  funkcí  $q_3 = \Phi_3(q_1)$  a úhel  $q_4$  funkcí  $q_4 = \Phi_4(q_1)$ . Vyjádříme časové derivace

$$\begin{aligned}\dot{q}_2 &= \Phi'_2 \dot{q}_1, & \ddot{q}_2 &= \Phi''_2 \dot{q}_1^2 + \Phi'_2 \ddot{q}_1, \\ \dot{q}_3 &= \Phi'_3 \dot{q}_1, & \ddot{q}_3 &= \Phi''_3 \dot{q}_1^2 + \Phi'_3 \ddot{q}_1, \\ \dot{q}_4 &= \Phi'_4 \dot{q}_1, & \ddot{q}_4 &= \Phi''_4 \dot{q}_1^2 + \Phi'_4 \ddot{q}_1.\end{aligned}$$

Dále si zavedeme proměnné  $\bar{q}_2, \bar{q}_3, \bar{q}_4$

$$\begin{aligned}\bar{q}_2 &= q_2 - \Phi_2, & \dot{\bar{q}}_2 &= \dot{q}_2 - \Phi'_2 \dot{q}_1, \\ \bar{q}_3 &= q_3 - \Phi_3, & \dot{\bar{q}}_3 &= \dot{q}_3 - \Phi'_3 \dot{q}_1, \\ \bar{q}_4 &= q_4 - \Phi_4, & \dot{\bar{q}}_4 &= \dot{q}_4 - \Phi'_4 \dot{q}_1.\end{aligned}$$



# 4-link: 3 virtuální omezení

Modelování  
mechanických  
systémů

Podaktuované  
systémy

Kráčející roboti

Řízení kráčejících  
robotů

Acrobot -  
podaktuovaná chůze  
pomocí linearizace  
řádu 3

4-link: 3 virtuální  
omezení

4-link: 2 virtuální  
omezení

Porovnání 2 a 3  
omezení

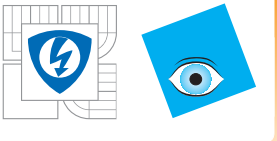
$$\begin{aligned}\ddot{\bar{q}}_2 &= \bar{\tau}_2 = -k_1^2 \bar{q}_2 - k_2^2 \dot{\bar{q}}_2, \\ \ddot{\bar{q}}_3 &= \bar{\tau}_3 = -k_1^3 \bar{q}_3 - k_2^3 \dot{\bar{q}}_3, \\ \ddot{\bar{q}}_4 &= \bar{\tau}_4 = -k_1^4 \bar{q}_4 - k_2^4 \dot{\bar{q}}_4.\end{aligned}\quad (41)$$

Z definice nových vstupů  $\bar{\tau}_2, \bar{\tau}_3, \bar{\tau}_4$  máme očividně

$$\begin{aligned}\bar{\tau}_2 &= \ddot{\bar{q}}_2 - \Phi_2'' \dot{\bar{q}}_1^2 - \Phi_2' \ddot{\bar{q}}_1, \\ \bar{\tau}_3 &= \ddot{\bar{q}}_3 - \Phi_3'' \dot{\bar{q}}_1^2 - \Phi_3' \ddot{\bar{q}}_1, \\ \bar{\tau}_4 &= \ddot{\bar{q}}_4 - \Phi_4'' \dot{\bar{q}}_1^2 - \Phi_4' \ddot{\bar{q}}_1.\end{aligned}\quad (42)$$

Dosazením máme  $[\ddot{\bar{q}}_2 \ \ddot{\bar{q}}_3 \ \ddot{\bar{q}}_4]^T$  jako

$$\begin{bmatrix} \ddot{\bar{q}}_2 \\ \ddot{\bar{q}}_3 \\ \ddot{\bar{q}}_4 \end{bmatrix} = \begin{bmatrix} -k_1^2 \bar{q}_2 - k_2^2 \dot{\bar{q}}_2 \\ -k_1^3 \bar{q}_3 - k_2^3 \dot{\bar{q}}_3 \\ -k_1^4 \bar{q}_4 - k_2^4 \dot{\bar{q}}_4 \end{bmatrix} + \begin{bmatrix} \Phi_2'' \\ \Phi_3'' \\ \Phi_4'' \end{bmatrix} \dot{\bar{q}}_1^2 + \begin{bmatrix} \Phi_2' \\ \Phi_3' \\ \Phi_4' \end{bmatrix} \ddot{\bar{q}}_1. \quad (43)$$



# 4-link: 3 virtuální omezení

Modelování  
mechanických  
systémů

Podaktuované  
systémy

Kráčející roboti

Řízení kráčejících  
robotů

Acrobot -  
podaktuovaná chůze  
pomocí linearizace  
řádu 3

4-link: 3 virtuální  
omezení

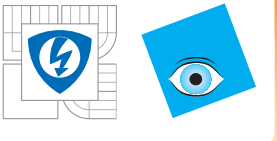
4-link: 2 virtuální  
omezení

Porovnání 2 a 3  
omezení

Vektorová pohybová rovnice 4-linku (35) se skládá ze 4  
skalárních rovnic, první vypadá následovně

$$d_{11}\ddot{q}_1 + [d_{12} \ d_{13} \ d_{14}] \begin{bmatrix} \ddot{q}_2 \\ \ddot{q}_3 \\ \ddot{q}_4 \end{bmatrix} + C^1(q, \dot{q})\dot{q} + G_1(q) = 0, \quad (44)$$

$$\ddot{q}_1 = - \left[ d_{11} + \begin{bmatrix} d_{12} \\ d_{13} \\ d_{14} \end{bmatrix}^T \begin{bmatrix} \Phi'_2 \\ \Phi'_3 \\ \Phi'_4 \end{bmatrix} \right]^{-1} \begin{bmatrix} d_{12} \\ d_{13} \\ d_{14} \end{bmatrix}^T \begin{bmatrix} \Phi''_2 \\ \Phi''_3 \\ \Phi''_4 \end{bmatrix} \dot{q}_1^2 + \begin{bmatrix} d_{12} \\ d_{13} \\ d_{14} \end{bmatrix}^T \begin{bmatrix} -k_1^2 \bar{q}_2 - k_2^2 \dot{\bar{q}}_2 \\ -k_1^3 \bar{q}_3 - k_2^3 \dot{\bar{q}}_3 \\ -k_1^4 \bar{q}_4 - k_2^4 \dot{\bar{q}}_4 \end{bmatrix} + C^1 \begin{bmatrix} \dot{q}_1 \\ \dot{q}_2 \\ \dot{q}_3 \\ \dot{q}_4 \end{bmatrix} + G_1(q).$$



# 4-link: 3 virtuální omezení

Modelování  
mechanických  
systémů

Podaktuované  
systémy

Kráčející roboti

Řízení kráčejících  
robotů

Acrobot -  
podaktuovaná chůze  
pomocí linearizace  
řádu 3

4-link: 3 virtuální  
omezení

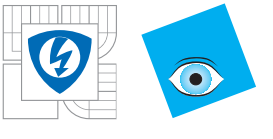
4-link: 2 virtuální  
omezení

Porovnání 2 a 3  
omezení

$$\begin{bmatrix} \tau_2 \\ \tau_3 \\ \tau_4 \end{bmatrix} = \begin{bmatrix} d_{21} \\ d_{31} \\ d_{41} \end{bmatrix} \ddot{q}_1 + D^{22} \begin{bmatrix} \ddot{q}_2 \\ \ddot{q}_3 \\ \ddot{q}_4 \end{bmatrix} + \begin{bmatrix} C^2(q, \dot{q}) \\ C^3(q, \dot{q}) \\ C^4(q, \dot{q}) \end{bmatrix} \dot{q} + \begin{bmatrix} G_2(q) \\ G_3(q) \\ G_4(q) \end{bmatrix},$$

$$D^{22} = \begin{bmatrix} d_{22} & d_{23} & d_{24} \\ d_{32} & d_{33} & d_{34} \\ d_{42} & d_{43} & d_{44} \end{bmatrix},$$

$C^{2,3,4}(q, \dot{q})$  jsou příslušné řádky matice  $C(q, \dot{q})$  a  $G_{2,3,4}(q)$  jsou příslušné skalárni prvky sloupcového vektoru  $G(q)$ .



# 4-link: 3 virtuální omezení

Modelování  
mechanických  
systémů

Podaktuované  
systémy

Kráčející roboti

Řízení kráčejících  
robotů

Acrobot -  
podaktuovaná chůze  
pomocí linearizace  
řádu 3

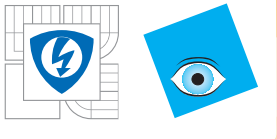
4-link: 3 virtuální  
omezení

4-link: 2 virtuální  
omezení

Porovnání 2 a 3  
omezení

$$\begin{bmatrix} \tau_2 \\ \tau_3 \\ \tau_4 \end{bmatrix} = \begin{bmatrix} d_{21} \\ d_{31} \\ d_{41} \end{bmatrix} \ddot{q}_1 + D^{22} \begin{bmatrix} -k_1^2 \bar{q}_2 - k_2^2 \dot{\bar{q}}_2 \\ -k_1^3 \bar{q}_3 - k_2^3 \dot{\bar{q}}_3 \\ -k_1^4 \bar{q}_4 - k_2^4 \dot{\bar{q}}_4 \end{bmatrix} + D^{22} \begin{bmatrix} \Phi''_2 \\ \Phi''_3 \\ \Phi''_4 \end{bmatrix} \dot{q}_1^2 + D^{22} \begin{bmatrix} \Phi'_2 \\ \Phi'_3 \\ \Phi'_4 \end{bmatrix} \ddot{q}_1 + \begin{bmatrix} C^2(q, \dot{q}) \\ C^3(q, \dot{q}) \\ C^4(q, \dot{q}) \end{bmatrix} \begin{bmatrix} \dot{q}_1 \\ \dot{q}_2 \\ \dot{q}_3 \\ \dot{q}_4 \end{bmatrix} + \begin{bmatrix} G_2(q) \\ G_3(q) \\ G_4(q) \end{bmatrix},$$

kde za úhlové zrychlení  $\ddot{q}_1$  je třeba ještě dosadit z dříve  
odvozeného vztahu.



# 4-link: 2 virtuální omezení

Modelování  
mechanických  
systémů

Podaktuované  
systémy

Kráčející roboti

Řízení kráčejících  
robotů

Acrobot -  
podaktuovaná chůze  
pomocí linearizace

řádu 3

4-link: 3 virtuální  
omezení

4-link: 2 virtuální  
omezení

Porovnání 2 a 3  
omezení

$$\dot{\xi}_5 = q_3 - \bar{\Phi}_3(q_2), \quad \dot{\xi}_6 = \dot{q}_3 - \bar{\Phi}'_3(q_2)\dot{q}_2,$$

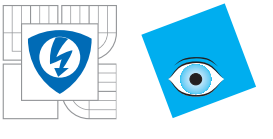
$$\dot{\xi}_7 = q_4 - \bar{\Phi}_4(q_2), \quad \dot{\xi}_8 = \dot{q}_4 - \bar{\Phi}'_4(q_2)\dot{q}_2.$$

$$\dot{\xi}_5 = \xi_6, \quad \dot{\xi}_6 = w_3,$$

$$w_3 = -K_3^1\xi_5 - K_3^2\xi_6.$$

$$\dot{\xi}_7 = \xi_8, \quad \dot{\xi}_8 = w_4,$$

$$w_4 = -K_4^1\xi_7 - K_4^2\xi_8.$$



# 4-link: 2 virtuální omezení

Modelování  
mechanických  
systémů

Podaktuované  
systémy

Kráčející roboti

Řízení kráčejících  
robotů

Acrobot -  
podaktuovaná chůze  
 pomocí linearizace

řádu 3  
4-link: 3 virtuální  
omezení

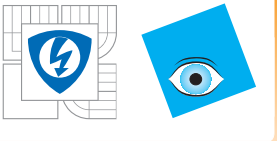
4-link: 2 virtuální  
omezení

Porovnání 2 a 3  
omezení

$$w = \begin{bmatrix} w_2 \\ w_3 \\ w_4 \end{bmatrix} = \beta(q) \begin{bmatrix} \ddot{q}_2 \\ \ddot{q}_3 \\ \ddot{q}_4 \end{bmatrix} + \alpha(q, \dot{q}), \quad (45)$$

$$\beta(q) = \begin{bmatrix} -\frac{\partial G_1}{\partial q_1} \frac{d_{12}}{d_{11}} + \frac{\partial G_1}{\partial q_2} & -\frac{\partial G_1}{\partial q_1} \frac{d_{13}}{d_{11}} + \frac{\partial G_1}{\partial q_3} & -\frac{\partial G_1}{\partial q_1} \frac{d_{14}}{d_{11}} + \frac{\partial G_1}{\partial q_4} \\ -\bar{\Phi}'_3(q_2) & 1 & 0 \\ -\bar{\Phi}'_4(q_2) & 0 & 1 \end{bmatrix}$$

$$\alpha(q, \dot{q}) = \begin{bmatrix} -\frac{\partial G_1}{\partial q_1} \left( \frac{C^1(q, \dot{q})}{d_{11}} \dot{q} + \frac{G_1(q)}{d_{11}} \right) + \frac{\partial^2 G_1(q)}{\partial q^2} \dot{q}^2 \\ -\bar{\Phi}''_3(q_2) \dot{q}_2^2 \\ -\bar{\Phi}''_4(q_2) \dot{q}_2^2 \end{bmatrix}$$



# 4-link: 2 virtuální omezení

Modelování  
mechanických  
systémů

Podaktuované  
systémy

Kráčející roboti

Řízení kráčejících  
robotů

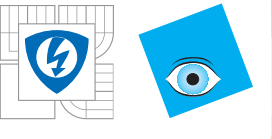
Acrobot -  
podaktuovaná chůze  
pomocí linearizace  
řádu 3  
4-link: 3 virtuální  
omezení  
4-link: 2 virtuální  
omezení

Porovnání 2 a 3  
omezení

$$\overline{\overline{D}}(q) \begin{bmatrix} \ddot{q}_2 \\ \ddot{q}_3 \\ \ddot{q}_4 \end{bmatrix} = \begin{bmatrix} \tau_2 \\ \tau_3 \\ \tau_4 \end{bmatrix} - \overline{\overline{C}}(q, \dot{q}) \begin{pmatrix} \dot{q}_1 \\ \dot{q}_2 \\ \dot{q}_3 \\ \dot{q}_4 \end{pmatrix} - \overline{\overline{G}}(q),$$

$$\overline{\overline{D}} = \begin{bmatrix} d_{22} - \frac{d_{21}d_{12}}{d_{11}} & d_{23} - \frac{d_{21}d_{13}}{d_{11}} & d_{24} - \frac{d_{21}d_{14}}{d_{11}} \\ d_{32} - \frac{d_{31}d_{12}}{d_{11}} & d_{33} - \frac{d_{31}d_{13}}{d_{11}} & d_{34} - \frac{d_{31}d_{14}}{d_{11}} \\ d_{42} - \frac{d_{41}d_{12}}{d_{11}} & d_{43} - \frac{d_{41}d_{13}}{d_{11}} & d_{44} - \frac{d_{41}d_{14}}{d_{11}} \end{bmatrix},$$

$$\overline{\overline{C}} = \begin{bmatrix} C^2 - C^1 \frac{d_{21}}{d_{11}} \\ C^3 - C^1 \frac{d_{31}}{d_{11}} \\ C^4 - C^1 \frac{d_{41}}{d_{11}} \end{bmatrix}, \overline{\overline{G}} = \begin{bmatrix} G_2 - G_1 \frac{d_{21}}{d_{11}} \\ G_3 - G_1 \frac{d_{31}}{d_{11}} \\ G_4 - G_1 \frac{d_{41}}{d_{11}} \end{bmatrix}.$$



# 4-link: 2 virtuální omezení

Modelování  
mechanických  
systémů

Podaktuované  
systémy

Kráčející roboti

Řízení kráčejících  
robotů

Acrobot -  
podaktuovaná chůze  
pomocí linearizace  
řádu 3  
4-link: 3 virtuální  
omezení

4-link: 2 virtuální  
omezení

Porovnání 2 a 3  
omezení

$$\begin{bmatrix} \tau_2 \\ \tau_3 \\ \tau_4 \end{bmatrix} = \overline{\overline{D}}(q)\beta^{-1}(q)(w - \alpha(q, \dot{q})) + \overline{\overline{C}}(q, \dot{q})\dot{q} + \overline{\overline{G}}(q).$$

Vektor  $w = [w_2, w_3, w_4]^T$  obsahuje konkrétní zpětnovazebné regulátory pro úhly  $q_2$ ,  $q_3$  a  $q_4$ . Úhel  $q_2$  je řízen pomocí výsledného vnořeného zobecněného Acrobota, zatímco úhly  $q_3$  a  $q_4$  jsou řízeny metodou virtuálních omezení.



# Porovnání 2 a 3 omezení

Modelování  
mechanických  
systémů

Podaktuované  
systémy

Kráčející roboti

Řízení kráčejících  
robotů

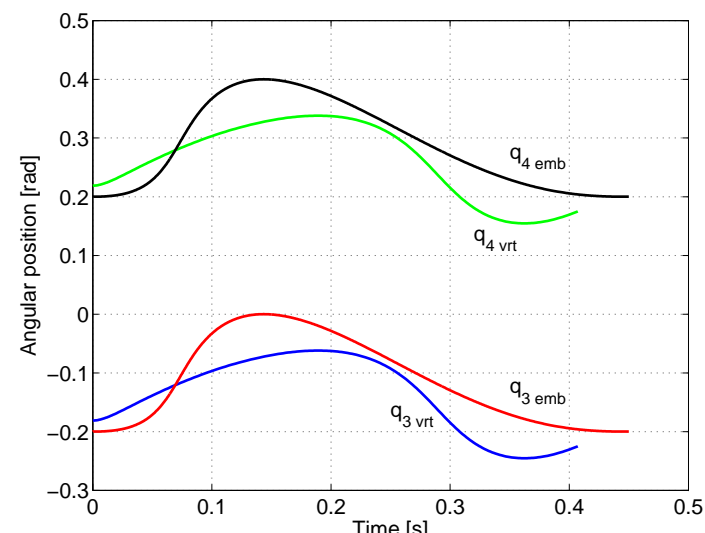
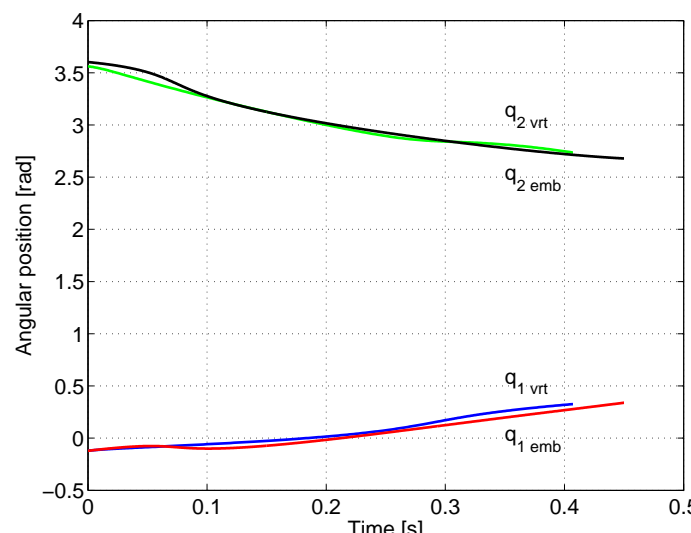
Acrobot -  
podaktuovaná chůze  
 pomocí linearizace  
 řádu 3

4-link: 3 virtuální  
omezení  
4-link: 2 virtuální  
omezení

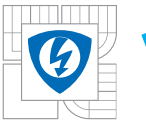
Porovnání 2 a 3  
omezení

$$\bar{\Phi}_3(q_2) = 16 b_{stance} \frac{(q_2 - q_{20})^2 (q_2 - q_{2T})^2}{(-q_{20} + q_{2T})^4} + q_{30},$$

$$\bar{\Phi}_4(q_2) = 16 b_{swing} \frac{(q_2 - q_{20})^2 (q_2 - q_{2T})^2}{(-q_{20} + q_{2T})^4} + q_{40},$$



Obrázek 8: Porovnání úhlů.



# Porovnání 2 a 3 omezení

Modelování mechanických systémů

Podaktuované systémy

Kráčející roboti

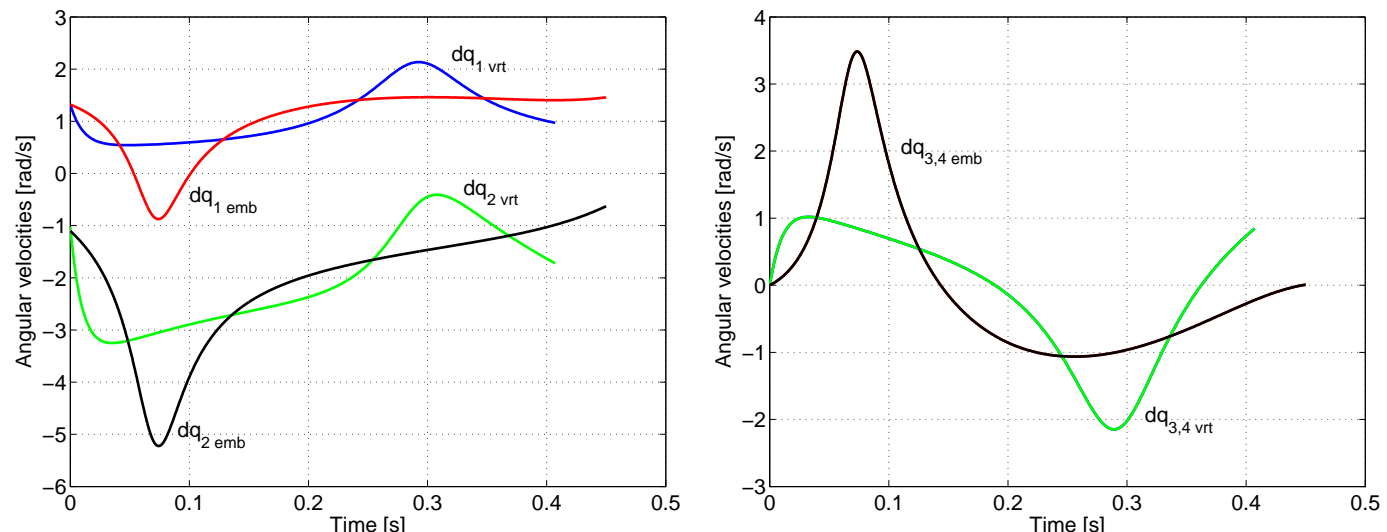
Řízení kráčejících robotů

Acrobot - podaktuovaná chůze pomocí linearizace řádu 3

4-link: 3 virtuální omezení

4-link: 2 virtuální omezení

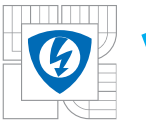
Porovnání 2 a 3 omezení



Obrázek 9: Porovnání úhlových rychlostí.

Metoda dvou omezení umožňuje i konvergenci chyby sledování během jednoho kroku.

Metoda tří omezení konverguje pouze hybridně, vyžaduje nalezení vhodné tzv. **hybridní nulové dynamiky**.



# Porovnání 2 a 3 omezení

Modelování  
mechanických  
systémů

Podaktuované  
systémy

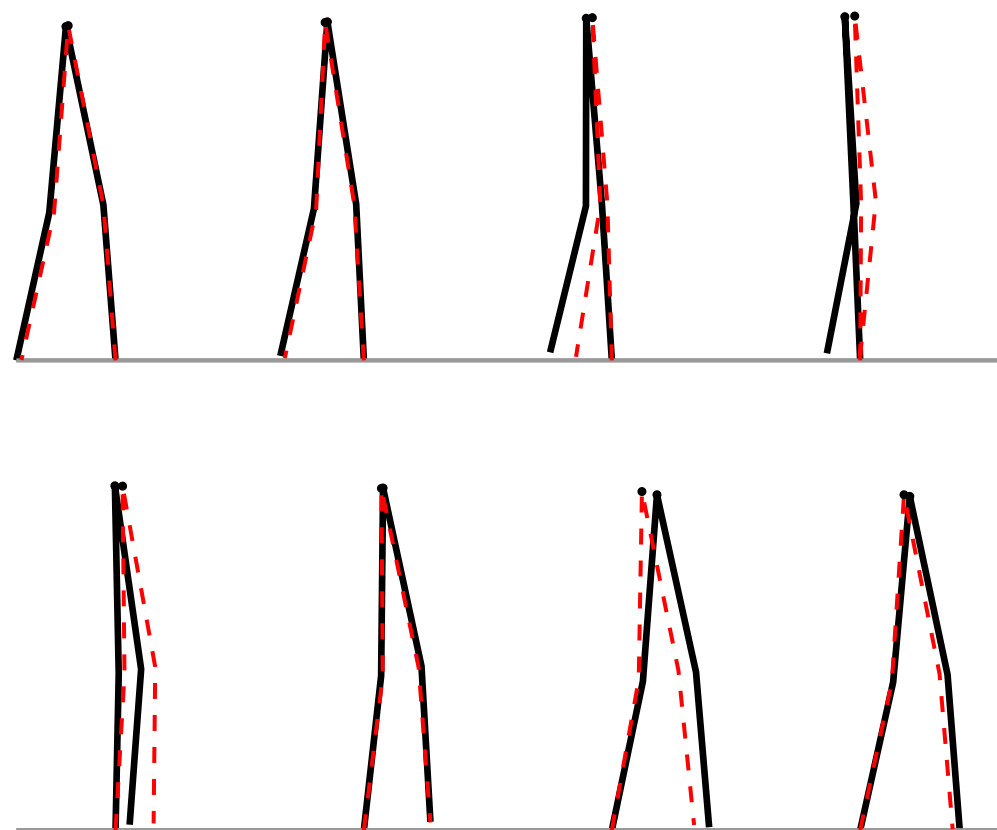
Kráčející roboti

Řízení kráčejících  
robotů

Acrobot -  
podaktuovaná chůze  
 pomocí linearizace

řádu 3  
4-link: 3 virtuální  
omezení  
4-link: 2 virtuální  
omezení

Porovnání 2 a 3  
omezení



Obrázek 10: Animace chůze. Tečkovaně, resp. plně, jsou znázorněny výsledky metody dvou, resp. tří, omezení.